

Vysoká škola strojní a textilní v Liberci

nositelka Řádu práce

Fakulta strojní

Katedra obrábění a montáže

Obor 23 - 07 - 8 - strojírenská technologie
zaměření obrábění a montáž

OBRÁBĚNÍ SLOŽITÝCH TVAROVÝCH PLOCH S APLIKACÍ

NA KUŽELOVÁ OZUBENÍ SE ZAKŘIVENÝMI ZUBY

616

KOM - OM -

ALENA HAASOVÁ

Vedoucí práce: Ing. Aleš Průšek

KOM VŠST

Rozsah práce a příloh

Počet stran : 80
Počet příloh a tabulek: 9
Počet obrázků : 21
Počet výkresů : 0
Počet modelů nebo
jiných příloh : 0

2. června 1989

DILM

Pro: Aleš Hájsek

Datum: 23 - 07 - 8 strajírenská technologie

Muzeum kultury Věci ve středním vzdělání výšky CSSR a ČSSR v Praze, oblast studia a vývoje výrobků sestávajících z dílnových částí, využívajících dílnovou praci.

Název téma: Obrábění skložitých tvarových plátek s aplikacemi na kuželové ozubení se zahraničními zuby.

Zajízdy pro vypracování:

1. Rozbor současného stavu a zadání.
2. Výchozí povrch nástroje a charakter sítivky.
3. Kinematická schémata obrábění kuželových ozubených kai Gleason a Cyclickem.
4. Průřezy třísek při obrábění uvedených col.
5. Výpočet rezných mil pomocí měrného kruhu odporu.
6. Zjednodušení a závěr.

V 245/99 S

GRADUOVANÝ
VYDÁNO 20. 3. 1999
Z. ŠTĚPÁN

Kačák - ředitel

3. 4. 1989 - 1. 5. 1989. Výroba a vývoj součástí
a komponent pro výrobu a vývoj výrobků založených
na principu laseru. Lekce vyučujícího: Ing. J. Šimánek,
Mikluky. Obsah lekcí: Základy geometrie a geometrie s techni-
kou výroby a vývoje, SNTL Praha.

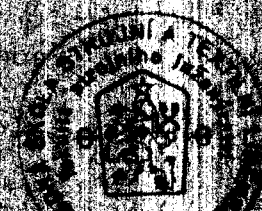
5. 5. 1989 - 1. 6. 1989. Základy teorie navigace mených měsíčníků, SNTL

Praha. Učebnice: D. Šimánek, U. M. Vojtěchovský. Název: Projektiro-
vání a vývoj nových instrumentů. Vydavatel: Masopis 1982.

Ing. J. Šimánek, M. R. České Rep.

1. 9. 1989

Ing. J. Šimánek 2. 6. 1989



Místopřísežně prohlašuji, že jsem diplomovcu práci
vypracovala samostatně s použitím uvedené literatury.

V Liberci dne 2.června 1989

Alena Haasová

Obsah

	str.
1.Úvod	6
1.1.Seznam zkratek a symbolů	7
2.Teorie navrhování řezných nástrojů	11
3.Povrchy součásti nástroje vytvořené profilem nástroje součásti při rotačních pohybech	15
3.1.Matematický model	15
3.1.1.Tenzor otočení	16
3.1.2.Operace s tenzorem otočení	19
4.Kuželová kola se zakřivenými zuby	23
4.1.Výroba kuželových kol Gleason	27
4.2.Výroba kuželových kol Oerlikon	28
5.Rozbor profilu nástroje a plocha boku zuba	30
5.1.Použité řešení pro určení plochy vytvořené nástrojem při dokončování metodou Gleason	40
5.2.Plocha vytvořená nástrojem při hrubování	43
6.Rovina řezu	44
7.Tvar třísky	46
7.1.Tříská při obrábění metodou Gleason	47
7.2.Tříská při obrábění metodou Oerlikon	48
8.Řezné síly při obrábění	50
8.1.Řezné síly při frézování	57
8.2. Řezné síly při frézování ozubených kol se zakřivenými zuby	61
8.3.Výpočet sil při obrábění metodou Oerlikon a Gleason.	63

	str.
9. Řešení silových poměrů při frézování kuželových kol Gleason	65
9.1. Vývojový diagram pro výpočet řezné síly F_c a odchylky skutečně vyrobeného boku zuba a obálkou zuba (podle LONGA) při dokončování kuželových kol Gleason	66
9.2. Rozdělení výpočtu pro vnitřní a vnější nože frézovací hlavy	69
9.3. Určení řezných rovin	70
9.4. Průsečnice plochy vytvořené nástrojem s řeznou rovinou	72
9.5. Odchylka vyrobeného boku zuba a obálky boku zuba	73
9.6. Výpočet řezné síly F_c	74
10. Závěr	75
Seznam použité literatury	76
Seznam příloh	79

1. Úvod

Správné uplatnění vědeckotechnického rozvoje v procesu obrábění je jedním z možných zdrojů úspor finančních prostředků a společensky nutné práce. Podstatnou součást strojírenských výrobků tvoří výroba ozubených kol, jež představuje asi patnáct procent z celkového objemu součástí vyráběných třískovou technologií. Vývoj obráběcích strojů a nástrojů směruje ke zvyšování produktivity práce, což se projevuje narůstáním řezné rychlosti, posuvu, tedy zvyšováním řezného výkonu. Současně s tím se zvyšují požadavky na kvalitu provedení.

Pro zvýšení trvanlivosti a snížení opotřebení nástrojů musíme zajistit co nejrovnoměrnější namáhání jednotlivých břitů nástroje. Namáhání daného břitu nástroje můžeme zkoumat prostřednictvím velikosti a tvaru odebírané třísky břitem. Odvození vztahu pro stanovení průřezu řezu je možné na základě znalosti trajektorie jednotlivých břitů nástroje. Z průřezu řezu a ze známých měrných řezných odporů je možné stanovit silové poměry při obrábění a na základě toho provést pevnostní kontrolu nástroje.

Diplomová práce řeší tento problém především pro frézování kuželových kol Gleason. V práci jsou rovněž zahrnuty poznatky z oblasti této problematiky týkající se frézování kuželových kol Oerlikon.

1.1. Seznam zkrátek a symbolů

Název hodnoty	Symbol	Symbol v programu
Ludolfovovo číslo	π	PI
Převod stupně-rad.	-	PREVSR
Jmenovitý poloměr frézovací hlavy [mm]	r_n	RN
Vzdálenost bodu od osy obrobku [mm]	-	RI2, RE2
Vnitřní úhel nože [°]	α_m	ALFAIN
Vnější kuželová vzdálenost [mm]	A_o	AØ
Vnitřní kuželová vzdálenost [mm]	A	A
Úhel počátečního natočení kolébky [°]	φ_0	TAUPOC
Úhel záběru [°]	ψ	PSI
Úhel patního kuže- le [°]	δ_f	GAMAP
Úhel hlavového kužeče [°]	δ_h	GAMAO
Úhlová rychlosť obrobku [rad.min ⁻¹]	ω_z	WZ
Úhlová rychlosť kolébky [rad.miň ⁻¹]	ω_k	WK
Úhlová rychlosť frézovací hlavy [rad.miň ⁻¹]	ω_f	WF
Vektor počáteč- ního bodu na ostří	\overline{OA}	OAIE
Vektor koncové- ho bodu na ostří	\overline{OB}	OBIE

Název hodnoty	Symbol	Symbol v programu
Jednotkový vektor osy obrobku	\bar{o}_Z	OZ
Jednotkový vektor osy kolébky	\bar{o}_K	OK
Jednotkový vektor osy fréz.hlav	\bar{o}_F	OF
Obvodová rychlos obrobku	v_Z	VZ
Čas na obrobení jedné zubové mezery	t_z	MAXTC
Časová konstanta mezi dvěma noži	-	DELVTC
Počet dělení v časovém intervalu	-	POCMTC
Počet bodů na ostří nástroje	-	POCUL
Krok v intervalu $u \in \langle 0,1 \rangle$	-	DELUL
Parametr vnitřního nože	-	INTER
Řezná rovina 1	-	TECR01
Řezná rovina 2	-	TECR02
Tenzor otočení	$\bar{T}(o_Z, w_Z, C)$	TOZWZM
	$\bar{T}(o_K, w_K, C)$	TOKWK
	$\bar{T}(o_F, w_F, C)$	TOFWF
Vektor bodu na ostří	\bar{K}	N1TC
Vektor ve směru hlavního řezného pohybu	\bar{V}	ST
Jednotkové vektory řezné roviny	\bar{V}^*	MALEV
	\bar{W}^*	MALEW

Název hodnoty	Symbol	Symbol v programu
Vektor bodu obálky	\bar{K}	KOB
Derivace tenzorů otočení	AT	ATC
	BT	BTC
	CT	CTC
Diadický součin	$\bar{e} \otimes \bar{e}$	DIAD
Jednotkový tenzor	\bar{E}	E
Antisymetrické tenzory	$\bar{W}_d(o_Z)$ $\bar{W}_d(o_K)$ $\bar{W}_d(o_F)$	WOZ WOK WOF
Odchylka od obálky boku zuba	-	VZL
Směrový vektor ostří	s	N1Ø
Čas pro který je nale- zena 1.řezná rovina	-	TC1
Čas pro který je na- lezena 2.řezná rovina	-	TC2
Průsečík průsečnic ostří nástroje s řeznou rovinou	-	OSR
Vektor bodu ostří pro který je nale- zena řezná rovina	-	NLTAU
Vektor z počátku s.s. do vrcholu kuželes vytvořeného prodlouženým ostřím nástroje	\bar{V}	V
Měrný řezný odpor	P _{1.1}	P11

Název hodnoty	Symbol	Symbol v programu
Opravný koeficient pro výpočet řezné síly	K_{Fc}	KFC
Exponent pro výpočet řezné síly	u	EXPON
Plocha třísky	S	UPL

2. Teorie navrhování řezných nástrojů

Podmínky existence výchozího povrchu nástroje

Teoretické základy navrhování řezných nástrojů vycházejí z těchto předpokladů /25/: soustavy stroj - nástroj - obrobek reprezentuje prvky absolutně tuhé a stroj i nástroj jsou teoreticky přesné. V další fázi se do výpočtu zařadí deformace soustavy a nepřesnost výroby.

Při navrhování řezných nástrojů se nejdříve stanoví výchozí povrch nástroje sdružený s povrchem součásti, a pak se nástroj jako geometrické těleso přemění v řezný nástroj, tj. udělí se mu řezné vlastnosti.

Výchozím povrchem nástroje se rozumí povrch tečný k postupným polohám obrobku při jejich vzájemném pohybu. Povrchy nástroje a součásti mohou být shodné (závitníky, protahovací trny), nebo je povrch nástroje vytvořen jako obalová plocha povrchu součásti (frézy). Výchozí povrch se v tomto případě stýká s obrobeným povrchem podél čáry, která se nazývá charakteristikou. Uvedené způsoby vytváření povrchu závisejí na tom, jaké základní schéma (kinematické) utváření bylo zvoleno.

Kinematické schéma utváření představuje souhrn pohybů nástroje vzhledem k obrobku, jež jsou nutné k vytvoření obrobeného povrchu součásti. Obecně nejsou kinematická schémata obrábění totožná se schématy utváření. Tato je nutné často doplnit příslušnými pohyby. Jestliže se kinematickým schématům obrábění přidají další pomocné pohyby, například zpětný pohyb nástroje, rychloposuv apod., vytvoří se tím reálné kinematické schéma obráběcího stroje. Sovětský autor RODIN /25/.

provedl roztrídění kinematických schémat utváření na několik základních typů, z nichž obsahuje několik jednoduchých pohybů. Jde o pohyby přímočaré, točivé a jejich kombinace.

Výchozí povrch nástroje lze vytvořit jen za těchto podmínek /25/. První a nutnou podmínkou vytvoření povrchu současnosti je existence výchozího povrchu nástroje sdruženého s obroběným povrchem při daném schématu utváření. Povrch nástroje lze považovat za souhrn charakteristik. Aby vznikl sdružený povrch nástroje, musí být všechny body povrchu součásti v různých okamžicích body charakteristiky.

Pro existenci obalového povrchu nástroje je nutné, aby byla alespoň jednou splněna podmínka, že normály k povrchu součásti jsou ve všech jeho bodech současně nebo v různých okamžicích kolmé k vektoru rychlosti pohybu součásti vzhledem k nástroji. Podmíncu lze zapsat jako skalární součin dvou vektorů

$$\bar{n} \cdot \bar{v} = 0 \quad (2.1)$$

kde \bar{n} - vektor normály k povrchu součásti

\bar{v} - vektor rychlosti relativního pohybu povrchu součásti v bodech charakteristiky

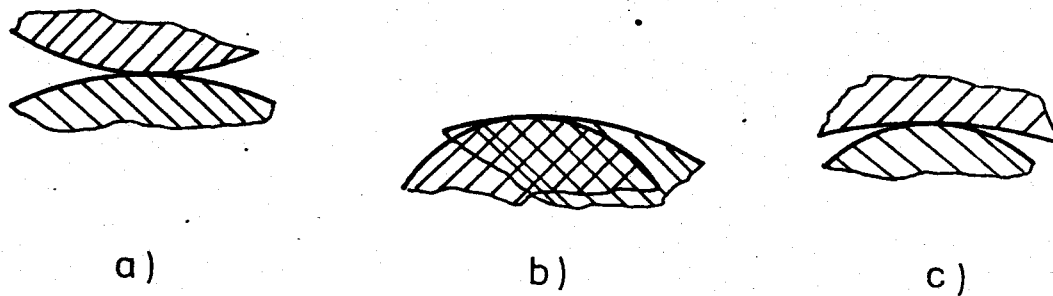
Směr vektoru v závisí na přijatém schématu utváření a na rozměrech a tvaru součástky.

Druhou podmínkou vytvoření povrchu součásti při obrábění je podmínka styku výchozího povrchu nástroje a součásti bez vzájemného pronikání. Charakter styku povrchu nástroje je možno vyšetřit pomocí řezů rovinami vedenými body styku. V těchto rovinách se mohou vyskytnout různé druhy styku sdružených profilů. Při dotyku vypuklého profilu s vypuklým nevznikne pronik pro žádný poloměr křivosti (obr.2.1.a). Při dotyku vypuklého

profilu s vydutým (obr.2.1.b,c) pronikání profilů nenastane v případě, že poloměr křivosti vydutého profilu bude větší než poloměr křivosti vypuklého profilu.

U sdružených profilů se mohou vyskytovat i body vratu. Jsou možné dva případy bodu vratu, a to pro vypuklý profil (obr.2.2.) a vydutý profil (obr.2.3.).

Charakter styku povrchu součásti a výchozího povrchu nástroje je možno vyšetřovat jak grafickými metodami, tak analyticky, např. pomocí poloměrů křivosti křivek v určitých rovinách řezu.

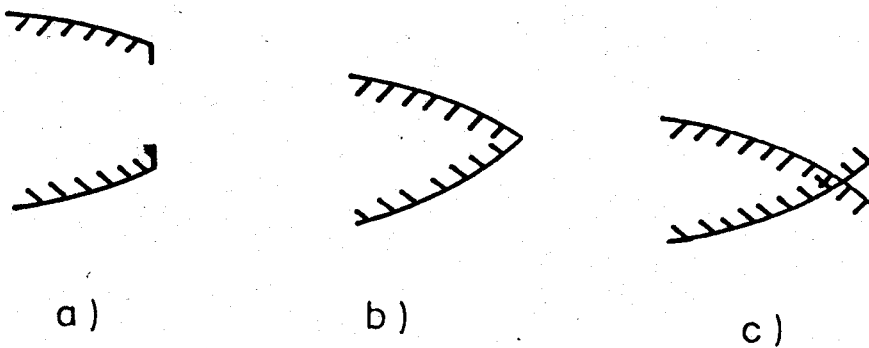


obr. 2.1. [24]



obr. 2.2. [24]

Třetí podmínkou výrobitevnosti je, že se přilehlé úseky povrchu nástroje nesmějí navzájem protínat. Povrchy součástí obráběné řezným nástrojem jsou složeny z celé řady různých ploch. Výchozí povrch nástroje se rovněž musí skládat z celé řady ploch, které korespondují při obrábění s úsekami na součásti. Přilehlé úseky výchozího povrchu nástroje mohou zaujmít tyto vzájemné polohy /25/ (obr.2.4.).



obr. 2.4. [24]

- a) úseky povrchů nástroje se navzájem neprotínají a jsou od sebe vzdáleny
- b) mezní body úseků se navzájem protínají
- c) úseky povrchů se navzájem protínají

3. Povrchy součásti (nástroje) vytvořené profilem nástroje (součásti) při rotačních pohybech

Tento problém se týká především obrábění se dvěma závislými rotačními pohyby kolem dvou různoběžných os nebo os mimo-běžných: při výrobě kuželových kol s přímými zuby nebo se zakřivenými zuby (Gleason, Oerlikon), broušení atd.

Je-li vytvářena plocha třemi závislými pohyby (při výrobě kola Oerlikon, Klingelnberg) v plynulém způsobu obrábění, bude problém složitější. Všechny tyto problémy se dají řešit použitím tenzoru otočení.

3.1. Matematický model

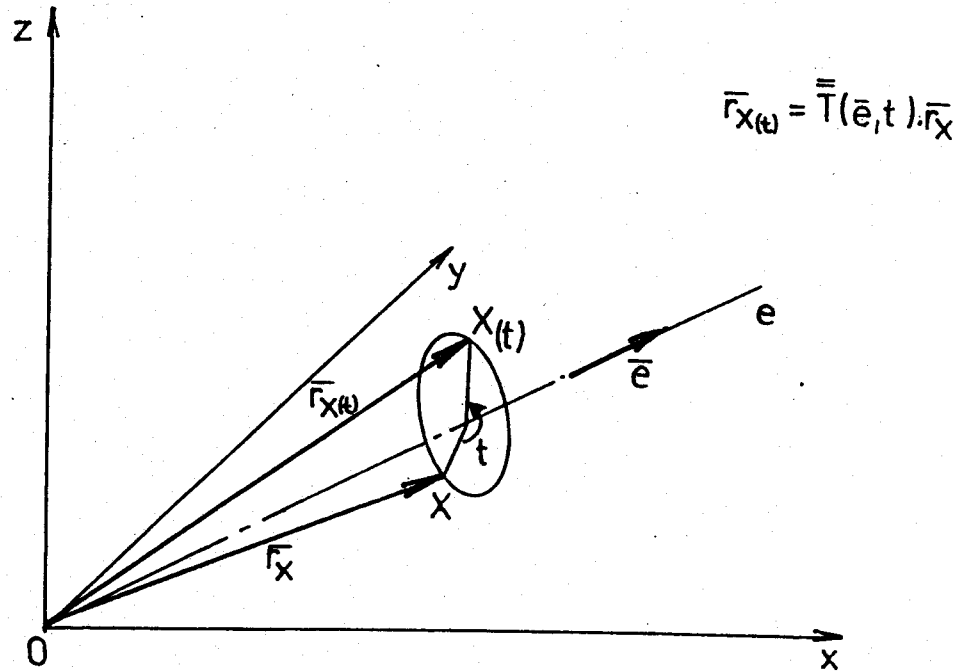
Většina pohybů při obrábění, ať jde o pohyb nástroje či obrobku, jsou pohyby rotační, posuvné nebo jejich kombinace. Trajektorie těchto pohybů nám charakterizují obecné polohy nástroje nebo obrobku.

Je-li předepsaný tvar profilu součásti a je-li známa kinematická vazba daného způsobu obrábění, pak je možno najít profil nástroje, jímž lze vyrobit požadovaný tvar obrobku. Tímto problémem se zabývali autoři v /19/, /16/ a /20/, konkrétně pro odvalovací frézy. Známe-li naopak tvar nástroje, kinematickou vazbu daného způsobu obrábění, můžeme vypočítat plochu obrobku.

3.1.1. Tenzor otočení

Pro svou náročnost a délku si výpočet plochy boku zuba vyžaduje takovou metodu, kterou lze aplikovat na samočinném počítači.

Základem obecného řešení je použití tenzoru otočení, jehož odvození je v /13/. Základní vlastnosti tenzoru otočení je, že otáčí obecný vektor \bar{r}_x kolem osy e dané jednotkovým vektorem \bar{e} o obecný úhel t , aniž se změní velikost tohoto vektoru (obr.3.1.).



obr.3.1.

Tenzor otočení kolem osy e o úhel t má tvar:

$$\bar{\bar{T}}(\bar{e}, t) = (\bar{\bar{E}} - (\bar{e} \otimes \bar{e})). \cos t + \bar{\bar{W}}_e \cdot \sin t + (\bar{e} \otimes \bar{e}) \quad (3.1)$$

kde $\bar{\bar{E}}$ - jednotkový tenzor,

$\bar{e} \otimes \bar{e}$ - diadický součin vektorů,

$\bar{\bar{W}}_e$ - antisymetrický tenzor,

t - úhel otočení.

Antisymetrický tenzor je definován:

$$\bar{\bar{W}}_e = \begin{vmatrix} 0 & -e_3 & e_2 \\ e_3 & 0 & -e_1 \\ -e_2 & e_1 & 0 \end{vmatrix} \quad (3.2)$$

a splňuje podmínky:

1) $w_{ij} = 0$ je-li $i=j$,

2) $w_{ij} = -w_{ji}$ je-li $i \neq j$,

přičemž $w_{21} = e_3$, $w_{13} = e_2$, $w_{32} = e_1$,

kde

e_1 , e_2 , e_3 - složky vektoru \bar{e} .

Jednotkový tenzor $\bar{\bar{E}}$ je sestaven podle těchto pravidel:

$$E_{ij} = 1 \text{ je-li } i=j,$$

$$E_{ij} = 0 \text{ je-li } i \neq j.$$

Diadický součin $e \otimes e$ zapisujeme v maticovém tvaru. Prvky d_{ij} této matice splňují tuto rovnici

$$d_{ij} = e_i e_j, \quad i = 1, 2, 3, \quad j = 1, 2, 3.$$

Obecná formulace vlastností tenzoru zní:

Tenzor otočení otáčí danou soustavu kolem dané osy o daný úhel, aniž by se tato soustava při otočení deformovala.

Po dosazení do (3.1) za jednotlivé tenzory a vektory má tenzor otocení tvar:

$$\bar{T}(\bar{e}, t) = \left(\begin{vmatrix} 1 & 0 & 0 \\ 0 & 1 & 0 \\ 0 & 0 & 1 \end{vmatrix} - \begin{vmatrix} e_1e_1 & e_1e_2 & e_1e_3 \\ e_2e_1 & e_2e_2 & e_2e_3 \\ e_3e_1 & e_3e_2 & e_3e_3 \end{vmatrix} \right) \cdot \cos t +$$

$$+ \begin{vmatrix} 0 & -e_3 & e_2 \\ e_3 & 0 & -e_1 \\ -e_2 & e_1 & 0 \end{vmatrix} \cdot \sin t + \begin{vmatrix} e_1e_1 & e_1e_2 & e_1e_3 \\ e_2e_1 & e_2e_2 & e_2e_3 \\ e_3e_1 & e_3e_2 & e_3e_3 \end{vmatrix}$$

(3.3)

3.1.2. Operace s tenzorem otočení

Jednou z nejdůležitějších operací je derivace tenzoru otočení podle úhlu otočení, kterou definujeme takto:

$$\frac{d(\bar{T}(\bar{e}, t))}{dt} = \bar{W}_e \cdot T(\bar{e}, t) \quad (3.4)$$

Důkaz je proveden v práci /11/.

Pro derivaci otočeného polohového vektoru platí:

$$\frac{d(\bar{\bar{T}}(\bar{e}, t) \cdot \bar{x})}{dt} = \bar{W}_e \cdot \bar{\bar{T}}(\bar{e}, t) \cdot \bar{x} \quad (3.5)$$

Derivace tenzoru otočení $\bar{\bar{T}}(\bar{e}, c+pt)$ je definována takto /11/

$$\frac{d(\bar{\bar{T}}(\bar{e}, c+pt))}{dt} = p \cdot \bar{W}_e \cdot \bar{\bar{T}}(\bar{e}, c+pt) \quad (3.6)$$

kde:

c - konstantní úhel otočení

p - reálné číslo

Tenzor $\bar{\bar{T}}(\bar{e}, c+pt)$ lze rozepsat

$$\bar{\bar{T}}(\bar{e}, c+pt) = \bar{\bar{T}}(\bar{e}, c) \cdot \bar{\bar{T}}(\bar{e}, pt) \quad (3.7)$$

Jestliže jsme pomocí tenzoru otočení vyjádřili soustavu ploch \bar{X} v pevném souřadném systému V, x, y, z , která je tvořena postupnými polohami ostří nástroje vzhledem k nehybnému obrobku, můžeme s použitím podmínky soumeznosti ploch:

$$[\bar{X}_{u_1}, \bar{X}_{u_2}, \bar{X}_{u_3}] = 0 \quad (3.8)$$

vypočítat rovněž plochy obrobku. Přičemž platí, že

$$\begin{aligned} \bar{X}_{u_1} &= \frac{\partial \bar{X}}{\partial u_1} \\ \bar{X}_{u_2} &= \frac{\partial \bar{X}}{\partial u_2} \\ \bar{X}_{u_3} &= \frac{\partial \bar{X}}{\partial u_3} \end{aligned} \quad (3.9)$$

Další použitý aparát vektorové a tenzorové analýzy je dostatečně znám a je zpracován v /9/ a /2/.

3.2. Obalové plochy vytvořené rotačními pohyby kolem dvou různoběžných os

Jestliže se nástroj (frézovací hlava) otáčí kolem své osy O_3 úhlovou rychlostí ω_3 , vytváří jeho ostří při pohybu plochu /13/

$$\bar{F}_3 = \bar{X}(u^1, u^2) \quad (3.10)$$

Součást se otáčí kolem osy O_2 , která je různoběžná s osou O_3 , úhlovou rychlostí ω_2 . Jaká bude obálka \bar{F}_2 ?

$$\text{Podmínka valení} \quad p = \frac{\omega_3}{\omega_2}$$

Za předpokladu, že plochu \bar{F}_2 zastavíme a vyšetřujeme pohyb plochy \bar{F}_3 vzhledem k ploše \bar{F}_2 označíme: \bar{o}_3 - jednotkový vektor osy o_3 , \bar{o}_2 - jednotkový vektor osy o_2 , φ - úhel otočení plochy \bar{F}_2 .

Pohyb plochy je složen ze dvou částí:

- 1) Rotační pohyb kolem vlastní osy o_3 o úhel $p\varphi$. Jeho tenzor otočení je $\bar{T}(\bar{o}_3, p\varphi)$.
- 2) Rotační pohyb kolem osy o_2 při zastavené \bar{F}_2 , pootočené o úhel φ . Tenzor otočení $\bar{T}(\bar{o}_2, \varphi)$.

Plochu nástroje v obecné poloze lze popsát takto:

$$\bar{K}_n = \bar{T}(\bar{o}_2, \varphi) \cdot \bar{T}(\bar{o}_3, p\varphi) \cdot \bar{X}(u^1, u^2) \quad (3.11)$$

V tomto případě φ zastupuje parametr u^3 z rovnice plochy

$$\bar{X} = \bar{X}(u^1, u^2, u^3)$$

Musí platit podle (3.8)

$$[\bar{K}\varphi, \bar{K}u^1, \bar{K}u^2] = 0 \quad (3.12)$$

Řešením soustavy rovnic (3.11) a (3.12) dostaneme rovnici o-balky současti. Podle (3.9):

$$\begin{aligned}
 \bar{K}_\varphi &= \frac{\partial \bar{K}}{\partial \varphi} = \bar{o}_2 \times \bar{T}(\bar{o}_2, \varphi) \cdot \bar{T}(\bar{o}_3, p\varphi) \cdot \bar{X}(u^1, u^2) + \\
 &+ \bar{T}(\bar{o}_2, \varphi) \cdot p \cdot \bar{o}_3 \times \bar{T}(\bar{o}_3, p\varphi) \cdot \bar{X}(u^1, u^2) = \\
 &= \bar{W}_e(\bar{o}_2) \bar{T}(\bar{o}_2, \varphi) \cdot \bar{T}(\bar{o}_3, p\varphi) \cdot \bar{X}(u^1, u^2) + p \cdot \bar{T}(\bar{o}_2, \varphi) \cdot \bar{o}_3 \times \bar{T}(\bar{o}_3, p\varphi) \cdot \bar{X}(u^1, u^2)
 \end{aligned} \tag{3.13}$$

Po úpravě:

$$\bar{K}_\varphi = \bar{W}_e(\bar{o}_2) + p \bar{T}(\bar{o}_2, \varphi) \bar{o}_3 \cdot \bar{T}(\bar{o}_2, \varphi) \cdot \bar{T}(\bar{o}_3, p\varphi) \cdot \bar{X}(u^1, u^2) \tag{3.14}$$

Neboli: $\bar{K}_\varphi = \bar{T}(\varphi) \cdot \bar{X}(u^1, u^2)$

(3.15)

kde

$$\bar{T}(\varphi) = \bar{W}_e(\bar{o}_2 + p \bar{T}(\bar{o}_2, \varphi) \bar{o}_3) \cdot \bar{T}(\bar{o}_2, \varphi) \cdot \bar{T}(\bar{o}_3, p\varphi) \tag{3.16}$$

$$\bar{K}_{u^i} = \bar{T}(\bar{o}_2, \varphi) \cdot \bar{T}(\bar{o}_3, p\varphi) \cdot \frac{\partial \bar{X}}{\partial u^i} \tag{3.17}$$

Z rovnic (3.12), (3.16), (3.17) dostaneme

$$\det[\bar{T}(\bar{o}_2, \varphi) \cdot \bar{T}(\bar{o}_3, p\varphi) \frac{\partial \bar{X}}{\partial u^1}; \bar{T}(\bar{o}_2, \varphi) \cdot \bar{T}(\bar{o}_3, p\varphi) \frac{\partial \bar{X}}{\partial u^2}; \bar{T}(\varphi) \cdot \bar{X}(u^1, u^2)] = 0 \tag{3.18}$$

z (3.18) vyjádříme $u^1 = u^1(u^2, \psi)$ a dosadíme do rovnice (3.11). Dostaneme rovnici obálky

$$\bar{K} = \bar{T}(\bar{o}_2, \psi) \bar{T}(\bar{o}_3, p\psi) \cdot \bar{X}(u^1(u^2, \psi), u^2) \quad (3.19)$$

4. Kuželová kola se zakřivenými zuby

Kuželových kol se zakřivenými zuby se používá při různoběžných osách a při větších náročích na ozubení. Zakřivené zuby mají proti přímým zubům řadu výhod (tichost chodu, větší únosnost, produktivnější způsob výroby), pro které se jim dává zpravidla přednost.

Jednotlivé odvalovací výrobni způsoby kuželových kol se zakřivenými zuby se rozdělují podle tzv. řídící křivky (průsečnice roztečné roviny základního plochého kola se zubními boky) na:

- a) metodu Gleason - řídící křivkou je kružnice
- b) metodu Oerlikon - řídící křivkou je prodloužená epicykloida
- c) metodu Klingelnberg - řídící křivkou je evolventa

Kromě uvedených odvalovacích způsobů výroby lze uvedenými metodami vyrábět i tzv. soukoli "poloodvalovaná".

Metoda Gleason

Obráběcí stroje na výrobu tohoto ozubení vyrábějí zejména tyto firmy /3/: Gleason-USA, Modul VEB-NDR, Enims-SSSR. V příloze 1 jsou hlavní údaje těchto strojů, důležité pro posouzení výrobních možností.

Soukoli s ozubením Gleason mají nejčastěji zuby se snižující se výškou. Důvodem je odstranění nerovnoměrné tloušťky zuba po jeho délce, jež je důsledkem kruhového tvaru řídících křivek.

Poloovalovaná soukoli typu Gleason-Formate. Taliřové kolo je vyrobeno bez odvalu, pouhým zápichem nebo kruhovým protažením. Při výrobě pastorku kolébka stroje představuje nástrojové kolo identické s již vyrobeným taliřem. Je to metoda velmi produktivní, vyžaduje však složitý výpočet seřízení stroje a soukoli je velmi citlivé na přesnou montáž. Metoda je vhodná především pro sériovou výrobu.

Zerol je kuželové soukoli typu Gleason, u něhož úhel sklonu zuba ve středu ozubení je nulový nebo malý. Důvodem použití tohoto ozubení bývá snaha zmenšit axiální síly v ložiskách. Helixform - v podstatě metoda Formate, zde však nástroj koná při výrobě pastorku šroubový pohyb kolem své osy. Metoda je vhodná pro sériovou výrobu.

V příloze 2 jsou uvedeny základní vzorce pro výpočet rozmerů soukoli. Jsou zpracovány podle literatury firmy Gleason.

Metoda Oerlikon

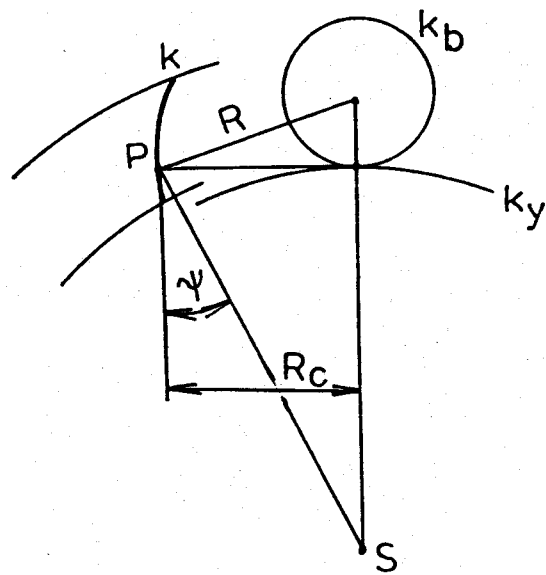
Obráběcí stroje /3/ a jejich výrobní rozsahy jsou uvedeny v příloze 3.

Ozubená kola s ozubením Oerlikon mají zuby s konstantní výškou. Ozubení tohoto typu je možno počítat v současné době podle tří výpočtových metod:

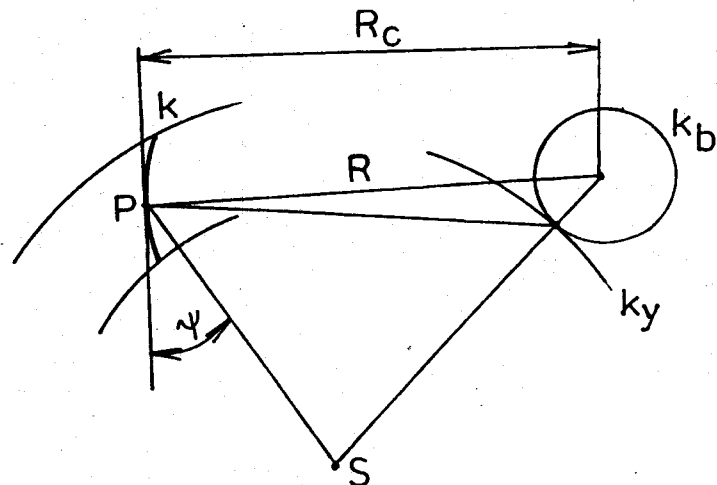
a) Ozubení N - situace v roztečné rovině plochého kola je znázorněna na obr.4.1 Používá se pro úhel sklonu zuba $29^\circ - 30^\circ$.

Základní vzorce pro výpočet tohoto ozubení jsou v příloze 4.

Za základ je v tomto přehledu vzat případ výroby univerzální hlavou.



obr. 4.1. [3]



obr. 4.2. [3]

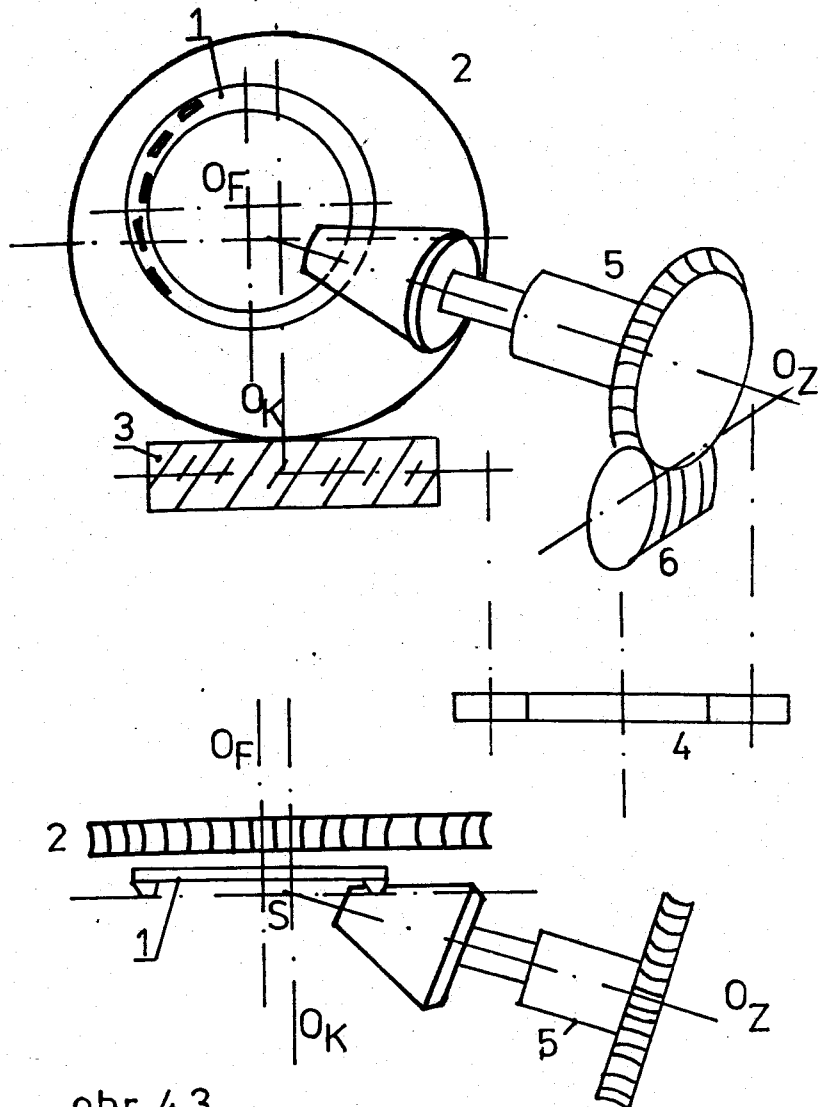
b) Ozubení G - geometrické poměry jsou znázorněny na obr. 4.2. Úhel sklonu zuba zde prakticky není omezen. Je možno vyrábět i ozubená kola s nulovým úhlem sklonu zuba (tzv. ozubení 0 - analogie Zerol).

I pro toto ozubení platí vztahy z přílohy 5 s přihlédnutím k uvedené poznámce.

c) Ozubení Spiroflex - Výroba soukoli s tímto ozubením předpokládá použití strojů Spiromatic 1-3, které mají možnost naklonění osy nástroje, nutného k dosažení podélné modifikace, a použití, z hlediska broušení, seřízení a využití materiálu velmi výhodných hlav F N.

4.1. Výroba kuželových kol Gleason

Zjednodušené schéma je na obr.4.3.



obr.4.3.

Frézovací hlava 1 se otáčí kolem osy O_F , která je výstředně uložena v kolébce 2. Kolébka se při frézování natáčí kolem osy O_K šnekovým soukolím 3 přes posuvové převody 4. Obrobek je upnut ve vřetenu 5, jímž otáčí šnekový převod 6, spojený převodem 4 s převodem na kolébku. Vrchol kuželevého obrobu prochází bodem S, ležícím na ose O_K a v rovině břitů frézovací hlavy. Osa vřetene je v této rovině skloněna o úhel patního kuželevého kola. Jednotlivé zubové mezery se frézuji dě-

lícím způsobem. Nožová hlava po vyfrézování jedné zubové mezery vyjede ze záběru a kolo se pootočí o jednu zubovou rozteč. Zpravidla se ozubené kolo frézuje nadvakrát. Zubová mezera se napřed hrubuje zvláštní frézovací hlavou, která má střídavě za sebou tři různě uspořádané nože. První nůž frézuje střed zubové mezery, druhý levý bok a třetí pravý bok zuba, oba s určitým přídavkem. Při hrubování taliřového kola pracuje nástroj zapichovacím způsobem, kolébka s frézovací hlavou a obrobek se neotáčeji. Konečný tvar zubové mezery se vytvoří na stejném stroji jinou frézovací hlavou. Při práci se otáčí kolébka i obrobek, čímž se dosáhne odvalování nožů frézovací hlavy po vytvořeném zuba frézovaného kola. Frézuje se rovněž zuba po zuba dělícím způsobem.

Nože frézovací hlavy mají lichoběžníkový profil, který odpovídá profilu zuba základního kola.

4.2. Výroba kuželových kol Oerlikon

Způsob výroby kuželových kol Oerlikon je založen na principu odvalování zuba frézovací hlavy, které představují zuby myšleného společného základního kola. Na rozdíl od způsobu Gleason je pracovní cyklus nepřetržitý. Průměty křivek zuba do základní roviny jsou částí prodloužených epicykloid. Zubové mezery se obrábějí frézovací hlavou, jejíž nože jsou spojeny do tří až jedenácti skupin. V každé skupině jsou zpravidla tři nože lichoběžníkového profilu pro předřezání, řezání levého a pravého boku zuba. Tyto skupiny nožů jsou uspořádány ve frézovací hlavě tak, aby každá tvořila část samostatné spi-

rály. Každá skupina je částí jiné spirály, aproto prochází jedna skupina nožů první zubovou mezerou, druhá skupina druhou a třetí skupina třetí mezerou atd. Kinematika celého procesu, kterou dosahujeme odvalování, se skládá z točivého pohybu frézovací hlavy, točivého pohybu obráběného kola a z točivého pohybu kolébky, v níž je výstředně uložena frézovací hlava. Její osa otáčení je totožná s osou základního kola. Tažírová kola se frézují zapichovacím způsobem.

Ze závěrů práce /21/, která se zabývá srovnáním, volbou optimálního způsobu výroby i uvažovanou produkcí vyplývá, že způsob Oerlikon spojuje výhody metody Klingelnberg (výpočet a seřízení stroje) s metodou Gleason (nožová hlava, jakost obroběné plochy), má však i řadu nevýhod, zejména v pracnosti seřizování víceskupinových nožových hlav.

Při použití univerzálních hlav je způsob Oerlikon zvláště výhodný pro kusovou a malosériovou výrobu.

Standardní Gleason se snižujícími zuby má podle /21/ řadu předností, z nichž uvádí např.:

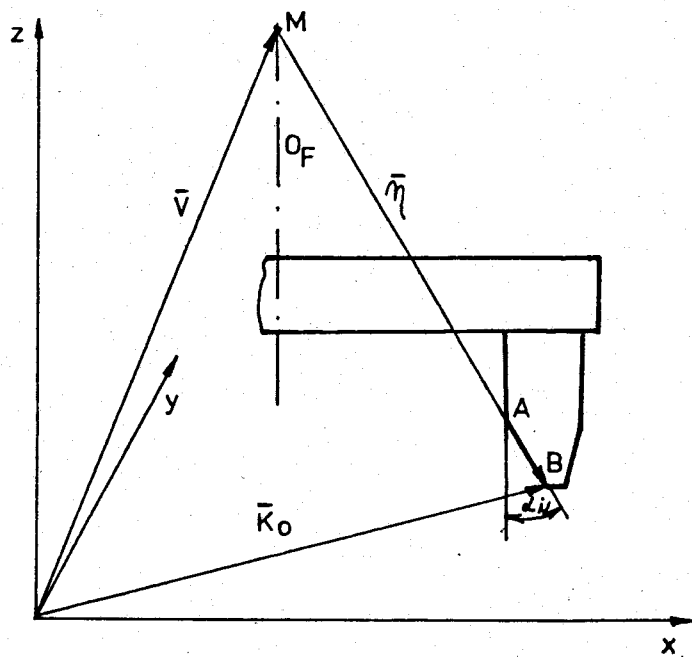
- Velký rozsah vyráběných kol - umožňuje jejich použití pro nejrůznější průmyslová odvětví, jako automobily, letadla, obráběcí stroje apod.
- Možnost racionálního využití jak v hromadné a sériové výrobě, tak i v malosériové a kusové výrobě.
- Možnost broušení kol po tepelném zpracování.

Mezi nevýhody metody Gleason patří:

- Složitý a velmi pracný výpočet.
- Potřeba několika hlav pro běžnou výrobu (hrubovací a dokončovací hlavy).

5. Rozbor profilu nástroje a plocha boku zuba pro kolo Gleason

Při výrobě kola Gleason má kužel ostří osu totožnou s osou frézovací hlavy (obr.5.1.).



obr. 5.1. [13]

Proto prodloužené ostří AB protíná osu O_F v bodě M. Jestliže parametr u^1 leží na AB, potom plocha kuželevy nástroje vytvořená ostřím má rovnici podle LONGA /13/:

$$\bar{K}_{O_F} = u^1 \bar{T}(\bar{o}_F, u^2) \bar{\eta} \quad (5.1)$$

Plocha kuželevy ostří má v systému souřadnic rovnici

$$\bar{K}_O = u^1 \bar{T}(\bar{o}_F, u^2) \bar{\eta} + \bar{v} \quad (5.2)$$

kde u^2 - je úhel pootočení kuželevého nástroje z počáteční polohy na začátku výroby zuba do polohy při dokončení jednoho boku zuba,

\bar{v} - je vektor od počátku souřadnic k vrcholu kuželevého vytvořeného rotací prodlouženého ostří nože frézovací hlavvy,

$\bar{\eta}$ - je vektor od vrcholu kuželevého ostří nože frézovací hlavvy ke zvolenému bodu na ostří.

Podle rovnice (3.10) máme plochu nástroje:

$$\bar{K} = \bar{T}(\bar{o}_Z, \psi) \bar{T}(\bar{o}_K, p\psi) (\bar{v} + u^1 \bar{T}(\bar{o}_F, u^2)) = \bar{T}(\bar{o}_Z, \psi) \bar{T}(\bar{o}_K, p\psi) \bar{K}_0 \quad (5.3)$$

kde

$$\bar{K}_0 = u^1 \bar{T}(\bar{o}_F, u^2) + \bar{v}$$

u^1 je parametr podél řezné hrany AB a splňuje podmínu

$$0 \leq u^1 \leq 1 \quad (5.4)$$

Pokud $u^1 > 1$, potom se obrábění koná špičkou nože.

\bar{o}_z - jednotkový vektor osy součásti,

\bar{o}_K - jednotkový vektor osy kolébky,

\bar{o}_F - jednotkový vektor osy frézy.

Podmínka valení

$$[\bar{K}u_1, \bar{K}u_2, \bar{K}\varphi] = 0 \quad (5.5)$$

$$\bar{K}u_1 = \frac{\partial \bar{K}}{\partial u_1} = \bar{T}(\bar{o}_Z, \varphi) \bar{T}(\bar{o}_K, p\varphi) \bar{T}(\bar{o}_F, u^2) \bar{\eta} \quad (5.6)$$

$$\bar{K}u_2 = \frac{\partial \bar{K}}{\partial u_2} = u^1 \bar{T}(\bar{o}_Z, \varphi) \bar{T}(\bar{o}_K, p\varphi) \bar{W}_e(\bar{o}_F) \bar{T}(\bar{o}_F, u^2) \bar{\eta} \quad (5.7)$$

$$\bar{K}\varphi = \frac{\partial \bar{K}}{\partial \varphi} = \bar{W}_e(\bar{o}_Z + p \bar{T}(\bar{o}_Z, \varphi) \bar{o}_K) \bar{T}(\bar{o}_Z, \varphi) \bar{T}(\bar{o}_K, p\varphi) \bar{K}_O \quad (5.8)$$

Dosadíme rovnice (5.6), (5.7), (5.8) do (5.5) a dostaneme:

$$(\bar{T}(\bar{o}_Z, \varphi) \bar{T}(\bar{o}_K, p\varphi) \bar{T}(\bar{o}_F, u^2) \bar{\eta} \times u^1 \bar{T}(\bar{o}_Z, \varphi) \bar{T}(\bar{o}_K, p\varphi) \bar{W}_e(\bar{o}_F) \bar{T}(\bar{o}_F, u^2) \bar{\eta}).$$

$$\cdot \bar{W}_e(\bar{o}_Z + p \bar{T}(\bar{o}_Z, \varphi) \bar{o}_K) \bar{T}(\bar{o}_Z, \varphi) \bar{T}(\bar{o}_K, p\varphi) \bar{K}_O = 0 \quad (5.9)$$

$$(\bar{T}(\bar{o}_Z, \varphi) \bar{T}(\bar{o}_K, p\varphi) \bar{T}(\bar{o}_F, u^2) \bar{\eta} \times u^1 \bar{T}(\bar{o}_Z, \varphi) \bar{T}(\bar{o}_K, p\varphi) \bar{W}_e(\bar{o}_F) \bar{T}(\bar{o}_F, u^2) \bar{\eta}).$$

$$\cdot \bar{W}_e(\bar{o}_Z + p \bar{T}(\bar{o}_Z, \varphi) \bar{o}_K) \bar{T}(\bar{o}_Z, \varphi) \bar{T}(\bar{o}_K, p\varphi) \bar{V} + \bar{T}(\bar{o}_Z, \varphi) \bar{T}(\bar{o}_K, p\varphi) \bar{T}(\bar{o}_F, u^2) \bar{\eta} \times$$

$$\times u^1 \bar{T}(\bar{o}_Z, \varphi) \bar{T}(\bar{o}_K, p\varphi) \bar{W}_e(\bar{o}_F) \bar{T}(\bar{o}_F, u^2) \bar{\eta} \cdot \bar{W}_e(\bar{o}_Z + p \bar{T}(\bar{o}_Z, \varphi) \bar{o}_K) \bar{T}(\bar{o}_Z, \varphi).$$

$$\cdot \bar{T}(\bar{o}_K, p\varphi) u^1 \bar{T}(\bar{o}_F, u^2) \bar{\eta} = 0 \quad (5.10)$$

Po vyloučení u^1 :

$$u^1 = \frac{(\bar{T}(\bar{\sigma}_Z|\psi)\bar{T}(\bar{\sigma}_K,p\psi)\bar{T}(\bar{\sigma}_F,u^2)\bar{\eta} \times \bar{T}(\bar{\sigma}_Z|\psi)\bar{T}(\bar{\sigma}_K,p\psi)\bar{W}_e(\bar{\sigma}_F)\bar{T}(\bar{\sigma}_F,u^2)\bar{\eta})}{(\bar{T}(\bar{\sigma}_Z|\psi)\bar{T}(\bar{\sigma}_K,p\psi)\bar{T}(\bar{\sigma}_F,u^2)\bar{\eta} \times \bar{T}(\bar{\sigma}_Z|\psi)\bar{T}(\bar{\sigma}_K,p\psi)\bar{W}_e(\bar{\sigma}_F)\bar{T}(\bar{\sigma}_F,u^2)\bar{\eta})} \cdot \frac{\bar{W}_e(\bar{\sigma}_Z + p\bar{T}(\bar{\sigma}_Z|\psi)\bar{\sigma}_K)\bar{T}(\bar{\sigma}_Z|\psi)\bar{T}(\bar{\sigma}_K,p\psi)\bar{V}}{\bar{W}_e(\bar{\sigma}_Z + p\bar{T}(\bar{\sigma}_Z|\psi)\bar{\sigma}_K)\bar{T}(\bar{\sigma}_Z|\psi)\bar{T}(\bar{\sigma}_K,p\psi)\bar{T}(\bar{\sigma}_F,u^2)\bar{\eta}} \quad (5.11)$$

$$u^1 = \frac{\det[\bar{T}(\bar{\sigma}_Z|\psi)\bar{T}(\bar{\sigma}_K,p\psi)\bar{T}(\bar{\sigma}_F,u^2)\bar{\eta}; \bar{T}(\bar{\sigma}_Z|\psi)\bar{T}(\bar{\sigma}_K,p\psi)\bar{W}_e(\bar{\sigma}_F)\bar{T}(\bar{\sigma}_F,u^2)\bar{\eta}]}{\det[\bar{T}(\bar{\sigma}_Z|\psi)\bar{T}(\bar{\sigma}_K,p\psi)\bar{T}(\bar{\sigma}_F,u^2)\bar{\eta}; \bar{T}(\bar{\sigma}_Z|\psi)\bar{T}(\bar{\sigma}_K,p\psi)\bar{W}_e(\bar{\sigma}_F)\bar{T}(\bar{\sigma}_F,u^2)\bar{\eta}] \cdot \bar{W}_e(\bar{\sigma}_Z + p\bar{T}(\bar{\sigma}_Z|\psi)\bar{\sigma}_K)\bar{T}(\bar{\sigma}_Z|\psi)\bar{T}(\bar{\sigma}_K,p\psi)\bar{V}} \cdot \frac{\bar{W}_e(\bar{\sigma}_Z + p\bar{T}(\bar{\sigma}_Z|\psi)\bar{\sigma}_K)\bar{T}(\bar{\sigma}_Z|\psi)\bar{T}(\bar{\sigma}_K,p\psi)\bar{V}}{\bar{W}_e(\bar{\sigma}_Z + p\bar{T}(\bar{\sigma}_Z|\psi)\bar{\sigma}_K)\bar{T}(\bar{\sigma}_Z|\psi)\bar{T}(\bar{\sigma}_K,p\psi)\bar{T}(\bar{\sigma}_F,u^2)\bar{\eta}} \quad (5.12)$$

Rovnici (5.12) lze stručně psát:

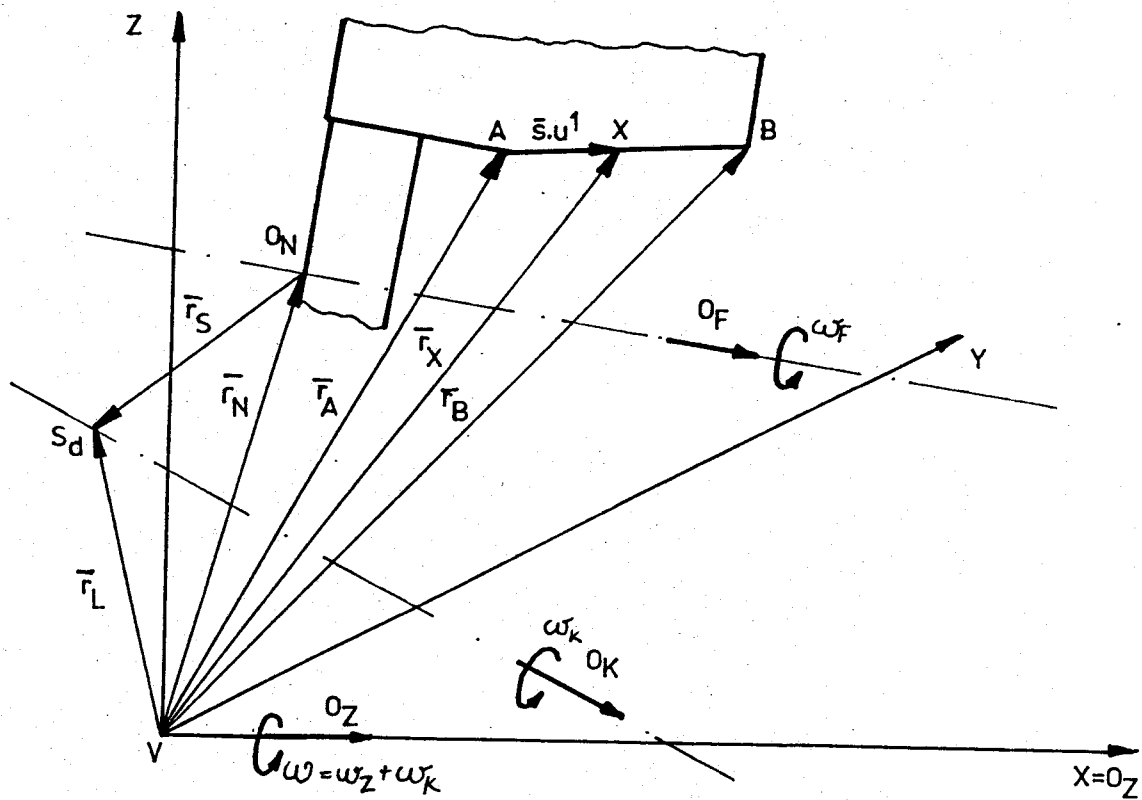
$$u^1 = u^1(\psi, u^2) \quad (5.13)$$

Dosazením (5.11) resp. (5.12) do (5.3) najdeme:

$$\bar{K}' = \bar{T}(\bar{\sigma}_Z|\psi)\bar{T}(\bar{\sigma}_K,p\psi)(\bar{V} + u^1(\psi, u^2)\bar{T}(\bar{\sigma}_F,u^2)\bar{\eta}) \quad (5.14)$$

Rozbor profilu nástroje a plocha boku zuba pro kolo Oerlikon

Zvolme si pravotočivý souřadný systém x-y-z s počátkem souřadnic ve vrcholu V roztečného kuželeta obrobku. Osu x ztotožníme s osou součásti, osa z nechť leží v rovině kolébky a je kolmá na osu x. Osa y je pak kolmá na rovinu x-z (obr.5.2.). Dále předpokládejme, že nástroj (tj. frézovací nůž) má přímkové ostří a špička nástroje má poloměr zaoblení $r=0$.



obr. 5.2. [22]

Definujme si převody:

$$p_1 = \frac{\omega_z}{\omega_F} \quad (5.15)$$

$$q_1 = \frac{\omega_K}{\omega_V} \quad (5.16)$$

Předpokládejme, že unašeč $\overline{O_N S_d}$ (kolébka) je pevný, pak platí:

$$\omega_V = 0, \quad \omega_K = 0$$

Vektorová rovnice ostří nástroje v základní poloze je:

$$\bar{r}_X = \bar{r}_A + \bar{s} \cdot u^1$$

kde \bar{r}_X je vektor libovolného bodu X na ostří AB vzhledem k počátku souřadnic V,

\bar{r}_A je polohový vektor počátečního bodu A ostří nástroje vzhledem k počátku souřadnic V,

\bar{s} je směrový vektor řezné části AB a platí, že:

$$\bar{s} = \bar{r}_B - \bar{r}_A$$

u^1 je parametr na ostří AB a musí pro reálné obrábění

splňovat podmíinku $u^1 \in \langle 0;1 \rangle$.

Předpokládejme, že úhel pootočení frézovací hlavy od základní polohy je u , potom úhel pootočení součásti je $(p_1 \cdot u)$.

Bod X ostří vektoru $\overline{O_N X}$ vykoná trajektorii podle /22/:

$$\bar{T}_{FZ} = \bar{T}(\bar{o}_F, u)(\bar{r}_A + \bar{s}u^1 - \bar{r}_N) \quad (5.17)$$

kde \bar{r}_N je vektor od počátku souřadnic k bodu O_N , který leží na ose O_F frézovací hlavy.

Trajektorie bodu X vztažená nyní k souřadnicím x-y-z je vyjádřena:

$$\bar{T}_Z = \bar{T}(\bar{o}_F, u)(\bar{r}_A + \bar{s}u^1 - \bar{r}_N) + \bar{r}_N$$

Tatáž trajektorie bodu svázaná s otáčením obrobku pak má tvar:

$$\bar{k}_Z = \bar{T}(\bar{o}_Z, p_1 u)(\bar{T}(\bar{o}_F, u)\bar{T}_Z) \quad (5.18)$$

Uvolníme-li nyní kolébku, potom:

$$\omega_K \neq 0 ; \omega_V \neq 0$$

Povrch nástroje \bar{K}_z bude s obrobkem konat valivý pohyb.

Označíme-li si úhel natočení součásti při valení v, potom úhel pootočení kolébky je ($q_1 \cdot v$).

Plocha \bar{K}_z se otočí kolem osy kolébky, která změnila však již svoji polohu do polohy \bar{o}'_K :

$$\bar{o}'_K = \bar{T}(\bar{o}_Z, p_1 u) \bar{o}_K$$

Pak dostaneme:

$$\bar{K}_K = \bar{T}(\bar{o}_K, q_1 v) K_Z - \bar{T}(\bar{o}_Z, p_1 u) \bar{r}_L + \bar{T}(\bar{o}_Z, p_1 u) \bar{r}_L \quad (5.19)$$

kde \bar{r}_L je polohový vektor bodu S_d , ležícího na ose kolébky.

Po otočení K_k kolem obráběné součásti má rovnice soustavy ploch K_z tvar:

$$\bar{K} = \bar{T}(\bar{o}_Z, v)(\bar{T}(\bar{o}_K, q_1 v) \bar{K}_Z - \bar{T}(\bar{o}_Z, p_1 u) \bar{r}_L) + \bar{T}(\bar{o}_Z, p_1 u) \bar{r}_L \quad (5.20)$$

Po dosazení (5.17) do (5.19):

$$\bar{K} = \bar{T}(\bar{o}_Z, v)(\bar{T}(\bar{o}_K, q_1 v)(\bar{T}(\bar{o}_Z, p_1 u) r_Z - \bar{T}(\bar{o}_Z, p_1 u) \bar{r}_L) + \bar{T}(\bar{o}_Z, p_1 u) \bar{r}_L) \quad (5.21)$$

Rovnice (5.21) je rovnicií bodu ostří nástroje v obecné poloze.

Určení plochy boku zuba

Podmínka pro určení obalové plochy k soustavě ploch K, popsaných rovnicí (5.21), zní:

$$[K_u, K_v, K_{u1}] = 0 \quad (5.22)$$

Po vyřešení jednotlivých parciálních derivací a po úpravě a dosazení do (5.21), dostaneme rovnici plochy boku zuba P:

$$\bar{P} = \bar{T}(\bar{o}_Z, v)(\bar{T}(\bar{o}_K, q_1 v)(\bar{T}(\bar{o}_Z, p_1 u)(\bar{T}(\bar{o}_F, u)(\bar{r}_A + \bar{s} \frac{-b \pm \sqrt{b^2 - 4ac}}{2a} - \bar{r}_N) + \\ + \bar{r}_N) - \bar{T}(\bar{o}_Z, p_1 u)\bar{r}_L) + \bar{T}(\bar{o}_Z, p_1 u)\bar{r}_L)$$

$$\bar{P} = \bar{T}(\bar{o}_Z, v)(\bar{T}(\bar{o}_K, q_1 v)(\bar{T}(\bar{o}_Z, p_1 u)(\bar{T}(\bar{o}_F, u)(\bar{r}_A + \bar{s} u^1(uv) - \bar{r}_N) + \bar{r}_N) - \\ - \bar{T}(\bar{o}_Z, p_1 u)\bar{r}_L) + \bar{T}(\bar{o}_Z, p_1 u)\bar{r}_L) \quad (5.23)$$

Odvození rovnice je provedeno v práci /22/.

V práci /22/ je rovněž odvozena rovnice boku zuba při vzájemném svázání všech pohybů při obrábění.

Rovnice plochy nástroje, která se valí kolem obráběné

součásti s tenzorem otočení $\bar{T}(\bar{o}_Z, \psi)$ má tvar:

$$\bar{K} = \bar{T}(\bar{o}_Z, \psi) (\bar{r}_L + \bar{T}(\bar{o}_K, q(2k\bar{\pi} + \psi)) (\bar{r}_N + \bar{T}(\bar{o}_F, p(2k\bar{\pi} + \psi)) \bar{T}(\bar{o}_F, -p2k\bar{\pi}) \cdot (\bar{r}_A + \bar{s} \cdot u^1 - \bar{r}_N) - \bar{r}_L) \quad (5.24)$$

Pro výpočet obalové plochy platí podmínka:

$$[\bar{K}_{u1}, \bar{K}_\psi, \bar{K}_{k+1} - \bar{K}_k] = 0 \quad (5.25)$$

Z této rovnice určíme:

$$u^1 = u^1(k, \psi) \quad (5.26)$$

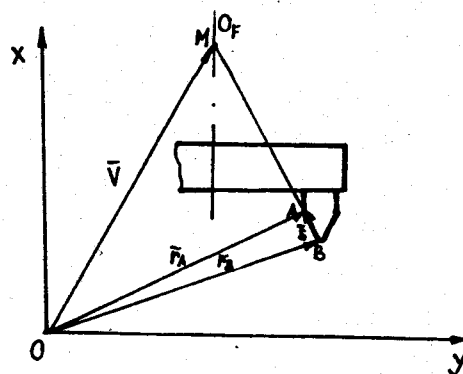
Po dosazení (5.26) do (5.24) dostaneme souřadnici boku zuba kola Oerlikon.

$$\bar{P} = \bar{T}(\bar{o}_Z, \psi) (\bar{r}_L + \bar{T}(\bar{o}_K, q(2k\bar{\pi} + \psi)) (\bar{r}_N + \bar{T}(\bar{o}_F, p\psi - 2km\bar{\pi})) (\bar{r}_A + \bar{s} \cdot u^1(k, \psi) - \bar{r}_N) - \bar{r}_L \quad (5.27)$$

Přičemž rovnice (5.23) popisuje plochu teoretickou a rovnice (5.27) popisuje plochu skutečně vyrobenou.

5.1. Použité řešení pro určení plochy vytvořené nástrojem při dokončování (hlazení) metodou Gleason

Směr ostří nástroje je v souřadném systému x-y-z dán rozdílem vektorů z počátku systému x-y-z do bodů na počátku a na konci ostří nástroje (obr.5.3.).



obr. 5.3.

Přitom předpokládáme, že nástroj má přímkové ostří a špička nástroje má poloměr zaoblení $r=0$. Toto zjednodušení můžeme provést proto, že bok zuba je vytvářen především ostřím nástroje. Vliv špičky nástroje je výrazný pouze při řešení problematiky podřezávání zubů při obrábění. Při výpočtu průřezu třísek se budeme zabývat takovým soukolem, které je reálné z výrobního hlediska, tzn. u kterého nedochází k podřezávání, a potom je možno považovat špičku nástroje za ostrou.

Rovnice ostrí tedy zní:

$$\bar{s} = \bar{r}_A - \bar{r}_B \quad (5.28)$$

Jestliže tuto plochu vztáhneme k souřadnému systému x-y-z, počátek systému bude průsečíkem osy O_K a O_Z . Osa x je totožná s osou kolébky, osa y je kolmá na osu x a leží v rovině $x-O_Z$, tj. prochází patou zuba. Osa z je kolmá na rovinu x-y a tvoří s osami x,y pravotočivý systém. Potom bude mít plocha vytvořená nástrojem rovnici:

$$\bar{r}_D = \bar{r}_B + u^1 \bar{s} \quad (5.29)$$

To platí za předpokladu:

$$\omega_F = 0$$

$$\omega_K = 0$$

$$\omega_Z = 0$$

Platí: C - čas v průběhu obrábění,

u^1 - parametr na ostrí nástroje, $0 \leq u^1 \leq 1$,

F - index pro nástroj,

K - index pro kolébku,

Z - index pro obrobek (kuželové kolo).

Budeme-li postupně uvádět nástroj, kolébku a obrobek do pohybu, bude mít plocha nástrojem vytvořená rovnice:

$$\omega_F \neq 0$$

$$\bar{K}_F = \bar{V} + \bar{T}(\bar{o}_F, \omega_F C) \cdot (K_D - \bar{V}) \quad (5.30)$$

$$\omega_K \neq 0$$

$$\bar{K}_K = \bar{T}(\bar{o}_K, \omega_K C) \cdot \bar{K}_F \quad (5.31)$$

$$\omega_Z \neq 0$$

$$\bar{K} = \bar{T}(\bar{o}_Z, -\omega_Z C) \cdot \bar{T}(\bar{o}_K, \omega_K C) \cdot (\bar{V} + \bar{T}(\bar{o}_F, \omega_F C) (\bar{r}_B + \bar{s}u^1 - \bar{V})) - \\ - v_Z C \cdot \bar{o}_Z \quad (5.32)$$

kde \bar{V} - vektor od počátku souř. systému k vrcholu kuželes, vytvořeného rotací prodlouženého ostří nože frézovací hlavy.

Plocha K je plocha vytvořená nástrojem při dokončování kuželových kol způsobem Gleason.

5.2. Plocha vytvořená nástrojem při hrubování

Plochu vytvořenou při hrubování kuželových kol Gleason lze popsat podobným způsobem jako plochu při dokončování.

V průběhu hrubování se otáčí pouze nástroj (frézovací hlava) a obrobek koná posuvný pohyb do řezu. Platí tedy:

$$\omega_K = 0$$

$$\omega_Z = 0$$

Směr ostří je opět určen rozdílem $\bar{r}_{Ah} - \bar{r}_{Bh}$

$$\bar{s}_h = \bar{r}_{Ah} - \bar{r}_{Bh} \quad (5.34)$$

Plocha v souřadném systému x-y-z, který je stejný jako u dokončování, má rovnici:

$$\bar{K}_{H1} = \bar{r}_{Bh} + \bar{s}_h \cdot u^1 \quad (5.35)$$

Při respektování pohybů nástroje a obrobku bude mít výsledná plocha rovnici:

$$\bar{K}_H = \bar{V}_h + \bar{T}(\bar{o}_F, \omega_F C)(K_{H1} - \bar{V}_h) - v_Z \cdot C \cdot \bar{o}_Z \quad (5.3)$$

6. Rovina řezu

Rovina kolmá na hlavní řezný pohyb

Rovinu kolmou na hlavní řezný pohyb určuje rovnice:

$$(\bar{X} - \bar{R}_r) \cdot \bar{v} = 0 \quad (6.1)$$

kde \bar{X} - libovolný bod roviny,

\bar{v} - vektor ve směru hlavního řezného pohybu,

\bar{R}_r - definovaný bod roviny.

Určení vektoru \bar{v}

Vektor \bar{v} se určí jako derivace plochy vytvořené nástrojem podle času.

$$\bar{v} = \frac{d K}{d t} \quad (6.2)$$

Pokud:

$$AT = \bar{T}(\bar{o}_{Z_1}, \omega_Z, C)$$

$$BT = \bar{T}(\bar{o}_{K_1}, \omega_K, C)$$

$$CT = \bar{T}(\bar{o}_{F_1}, \omega_F, C)$$

pak

$$AT' = -\omega_Z \cdot W_e(\bar{\alpha}_Z) \cdot AT$$

$$BT' = \omega_K \cdot W_e(\bar{\alpha}_K) \cdot BT$$

$$CT' = \omega_F \cdot W_e(\bar{\alpha}_F) \cdot CT$$

Vektor \bar{v} má po úpravě rovnici:

$$\begin{aligned} \bar{v} = & AT' \cdot BT \cdot \bar{v} + AT' \cdot BT \cdot CT \cdot \bar{r}_B + AT' \cdot BT \cdot CT \cdot u^1 \cdot \bar{r}_A - AT' \cdot BT \cdot CT \cdot u^1 \cdot \bar{r}_B - \\ & - AT' \cdot BT \cdot CT \cdot \bar{v} + AT \cdot BT' \cdot \bar{v} + AT \cdot BT' \cdot CT \cdot \bar{r}_B + AT \cdot BT' \cdot CT \cdot u^1 \cdot \bar{r}_A - \\ & - AT \cdot BT' \cdot CT \cdot u^1 \cdot \bar{r}_B - AT \cdot BT' \cdot CT \cdot \bar{v} + AT \cdot BT \cdot CT' \cdot \bar{r}_B + AT \cdot BT \cdot CT' \cdot u^1 \cdot \bar{r}_A - \\ & - AT \cdot BT \cdot CT' \cdot u^1 \cdot \bar{r}_B - AT \cdot BT \cdot CT' \cdot \bar{v} - v_Z \cdot \bar{\alpha}_Z \end{aligned} \quad (6.3)$$

7. Tvar třísky

Součástí komplexního přístupu k řešení problémů konstrukce součástí i nástrojů musí být studium tvarů a průřezů třísek při obrábění.

Řešením problematiky tvaru třísek při obrábění čelních ozubených kol odvalovacím frézováním se zabývaly např. práce /14/, /7/ a /10/. Některými otázkami výpočtu průřezu třísek se také zabývala Technische Hochschule v Aachenu /28/. Všechny tyto práce dávají pouze informaci o množství odebíráné třísky. Není v nich přesně určen tvar a velikost odebíráné třísky. Třísky, které vznikají při obrábění kuželových kol, mají poměrně složité a komplikované tvary. Výpočtem průřezu třísky při frézování soukolí Oerlikon se zabývá práce /22/.

Východiskem řešení je sestavení rovnic popisujících trajektorie jednotlivých břitů nástroje, plochu boku zuba a řezových rovin, ve kterých zkoumáme odebíranou třísku v libovolném okamžiku obrábění. Výsledky řešení jasně a přehledně definují danou třísku z hlediska tvaru i průřezu. V práci /22/ je vytvořena metodika výpočtu průřezu třísky a naznačen způsob výpočtu řezných sil.

7.1. Tříška při obrábění metodou Gleason

Průřez třísky-hrubovací nůž

Pro určení tvaru odebírané třísky je nutné zvolit si vhodnou řeznou rovinu. S ohledem na další způsob zpracování získaných hodnot je za řeznou rovinu zvolena rovina kolmá na směr hlavního řezného pohybu. Její rovnice je vyjádřena vztahem (6.1).

Je třeba zjistit průsečnice řezné roviny (6.1) s plochou nástroje (5.3) resp. (5.32) během obrábění jedné zubové mezery.

Průřez třísky-vnitřní a vnější nůž

Pro určení průřezu třísky vznikajícímu během obrábění těmito noži použijeme řeznou rovinu (6.1). Tvar třísky vymezí průsečnice plochy nástroje, řezné roviny a průsečnice plochy boku zuba vytvořeného při hrubování.

7.2. Třísky při obrábění Oerlikon

Třísky, které vznikají při obrábění kuželových kol Oerlikon, mají poměrně složité a komplikované tvary, což je způsobeno několika příčinami:

- jedná se o odvalovací obrábění,
- vyrábí se kuželové ozubení,
- zubová mezera není vytvářena jedním nožem,
- zuby nejsou přímkové.

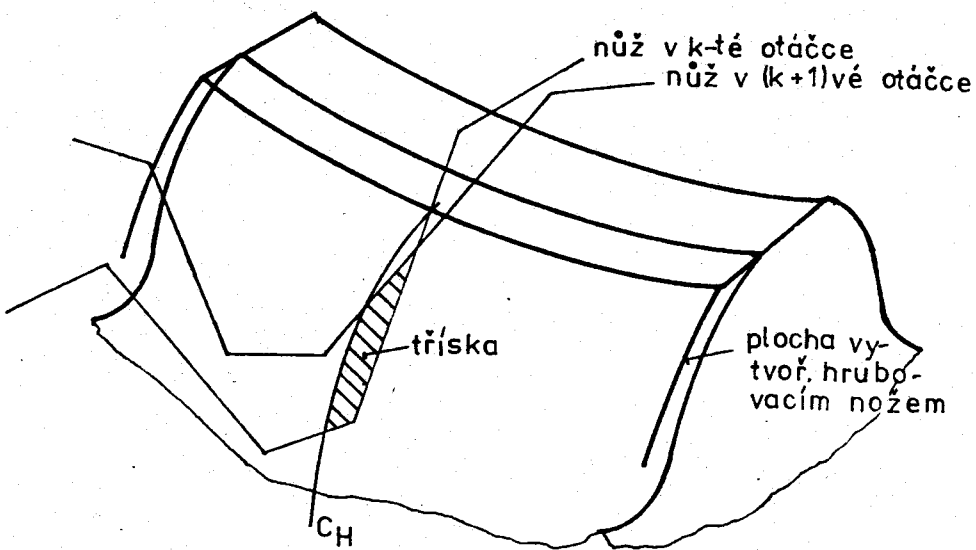
Určení průřezu třísky-hrubovací nůž

Základem řešení tvaru třísek, odebíraných hrubovacím nožem, je výpočet průsečnic drah jednotlivých bodů ostří nožů s vhodně zvolenou řezovou rovinou. V práci /22/ je provedeno odvození rovnice roviny procházející osou frézovací hlavy a v obecné poloze je tato rovina řezu označena Y.

Pro výpočet průřezu třísky musíme zjistit průsečnice roviny Y, procházející osou frézovací hlavy s plochou nástroje a boku zuba. Obecné řešení výpočtu průsečnic je provedeno v /22/. Tvar třísky se bude měnit v závislosti na seřízení hrubovacího nože, ale také na tom, kde tvar třísky budeme zkoumat.

Průřez třísky-vnitřní nůž

Tvar a velikost třísky zkoumáme rovněž v rovině Y. Tvar třísky nám potom v rovině Y vymezí průsečnice l_k plochy K nástroje s rovinou Y pro k-tou a l_{k+1} pro k+l-ní otáčku obrobku a průsečnice c_H plochy boku zuba, vytvořeného hrubovacím nožem, s rovinou Y (obr.7.1.)



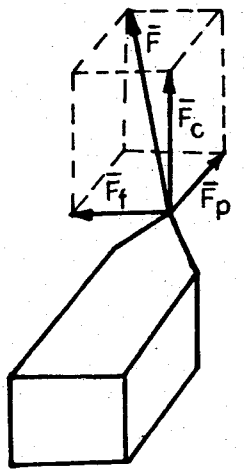
obr. 7.1. [22]

Řešení průřezu třísek pro vnější nůž je ekvivalentní jako pro nůž vnitřní.

8. Řezné síly při obrábění

Aby docházelo k oddělování třísky, jak uvádí /5/, musí na nástroj působit řezná síla jako tvůrce energie potřebné pro uskutečnění procesu obrábění.

Při vnikání břitu nástroje do materiálu klade tento odpor, který musí být překonán řeznou silou. Tím vzniknou aktivní složky řezné síly, které se přímo podílejí na tvorbě a odvedení třísky z místa řezu. Současně se však vytvoří podmínky pro vznik pasivních sil, které tento proces doprovázejí. Aktivní síly působí na čele nástroje, síly pasivní na jeho hřbet. Tyto síly promítáme do tří vzájemně kolmých os (obr. 8.1.).



F_c - hlavní složka, působící ve směru hlavního pohybu

F_f - posuvová složka, ve směru osy obróbku

F_p - přísuvová složka, ve směru radiálním vzhledem k obróbku

$$F = \sqrt{F_c^2 + F_f^2 + F_p^2} \quad [N]$$

obr. 8.1. [18]

Z hlediska potřeb praxe je nutno stanovit velikost jednotlivých složek a tím i celkové síly obrábění. To lze provést v zásadě dvojím způsobem a to buď měřením, nebo výpočtem.

Jednoduchý je způsob výpočtu z měrné řezné síly p. Měrnou řeznou sílu lze stanovit buď z tabulek, nebo z doplňkových vzorců sestavených Příkrylem, Zvorykinem nebo Kienzlem.

$$\text{PŘÍKRYL} : p = 6^{x_1} \cdot a^{-x_2} \cdot \delta^{x_3} \cdot 60^{-x_4} \quad [\text{MPa}]$$

$$\text{ZVORYKIN: } p = \frac{c}{a^u} \quad [\text{MPa}]$$

$$\text{KIENZLE: } p = p_{1,1} \cdot a^u \quad [\text{MPa}]$$

Z nich je nejjednodušší a nejpřesnější výpočet podle Kienzleho:

$$p = p_{1,1} a^u \quad [\text{MPa}] \quad (8.1)$$

kde $p_{1,1}$ - měrná řezná síla připadající na průřez třísky

$$s \cdot a = 1 \cdot 1 = 1 \text{ mm}^2,$$

a - tloušťka odřezávané vrstvy,

u - exponent zjištěný experimentálně.

Výše uvedená rovnice platí, pokud se dá znázornit závislost mezi měrnou řeznou silou p a tloušťkou a /29/ v semilogaritmických souřadnicích lineárně (obr.8.2.). S klesající tloušťkou třísky měrná řezná síla p progresivně roste, protože nástroje méně řežou a více škrabou. To spotřebuje velkou část vynaložené práce. Platí to zvláště u velmi jemného opracování, kde spotřeba práce na jednotku objemu třísek při hlanzení a broušení dělá mnohonásobek ve srovnání se soustružením (obr.8.3.). Závislost měrné řezné síly na řezné rychlosti a úhlu čela je zřejmá z obr.8.4. a 8.5. Vliv průřezu třísky na měrnou řeznou sílu ukazuje obr.8.6.

Pro řeznou sílu dostaneme podle Kienzleho /4/

$$F_c = b \cdot a^{1-u} p_{11} \quad [N] \quad (8.2)$$

V této rovnici je měrná řezná síla

$$p = \frac{p_{11}}{au} \quad [MPa] \quad (8.3)$$

po úpravě

$$F_c = b \cdot a \cdot p \quad [N] \quad (8.4)$$

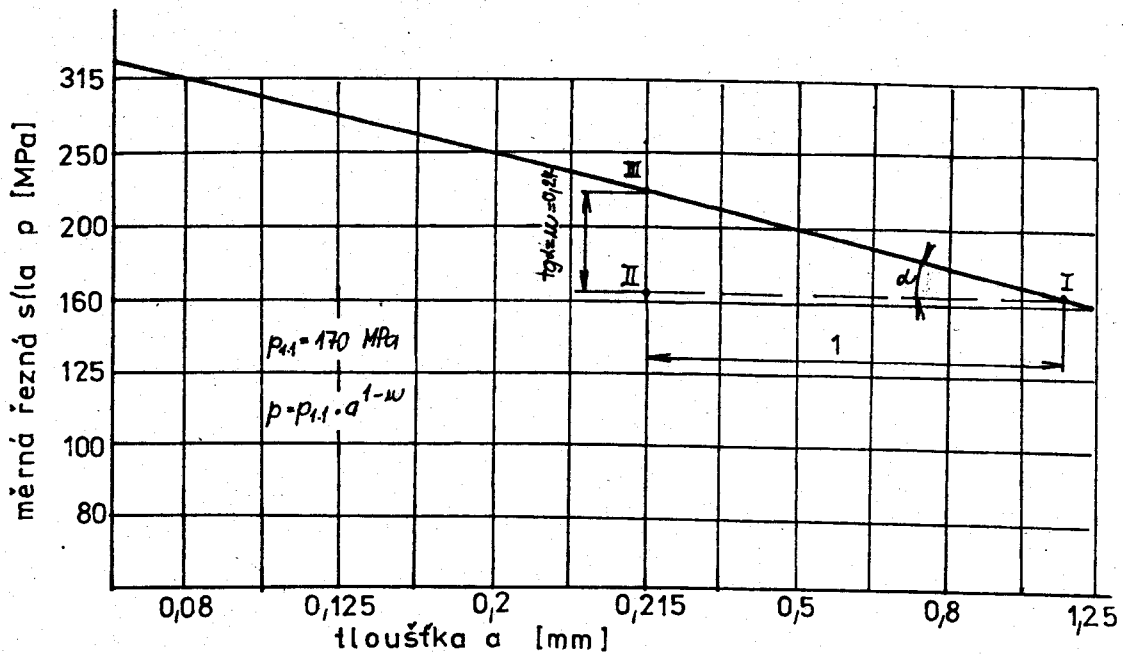
kde b - šířka třísky

a - tloušťka třísky

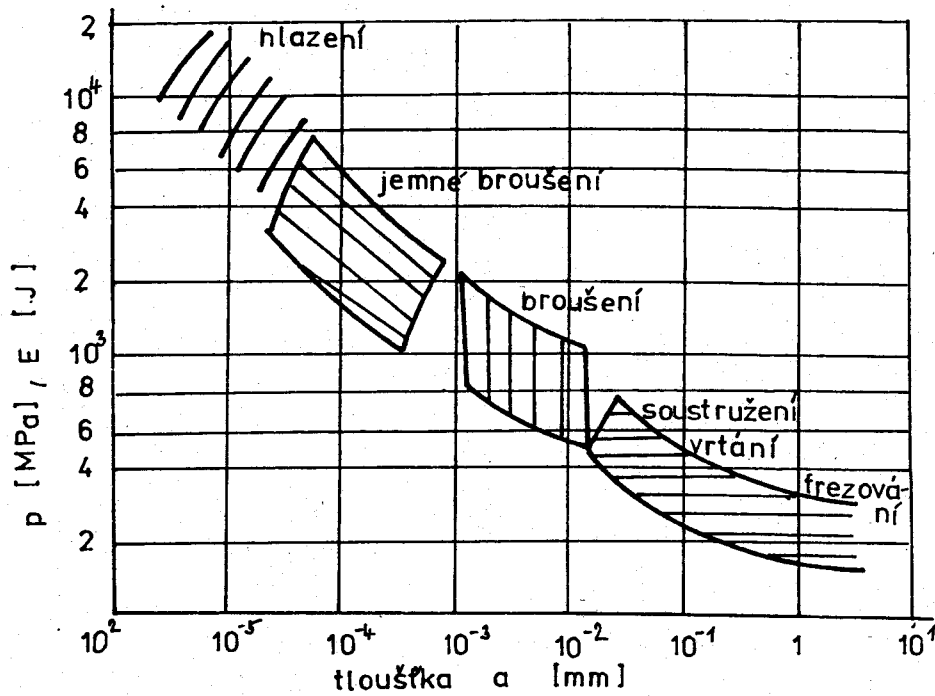
Měrná řezná síla je ovlivňována celou řadou činitelů.

Podle Kienzleho /4/ je to 15 veličin. Z praktické stránky je důležitých 10 veličin, které je třeba zahrnout do výpočtu řezné síly. Jsou to:

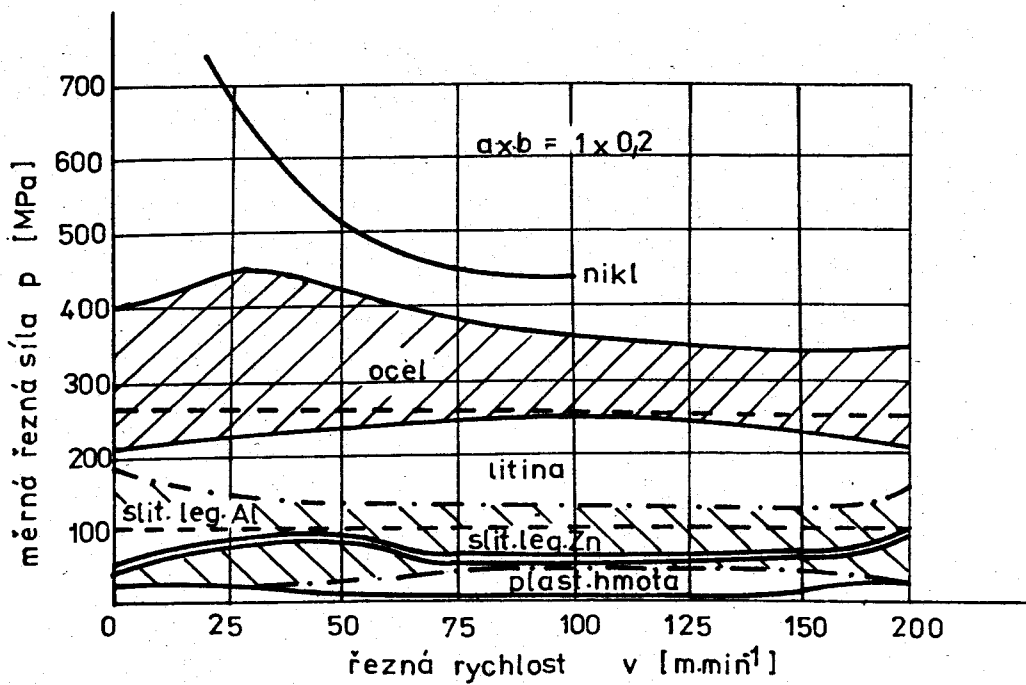
- 1) materiál,
- 2) posuv resp. tloušťka třísky,
- 3) hloubka řezu resp. šířka třísky,
- 4) tvar průřezu třísky,
- 5) úhel čela,
- 6) úhel nastavení,
- 7) řezná rychlosť,
- 8) řezný materiál,
- 9) chlazení a mazání,
- 10) otupení ostří.



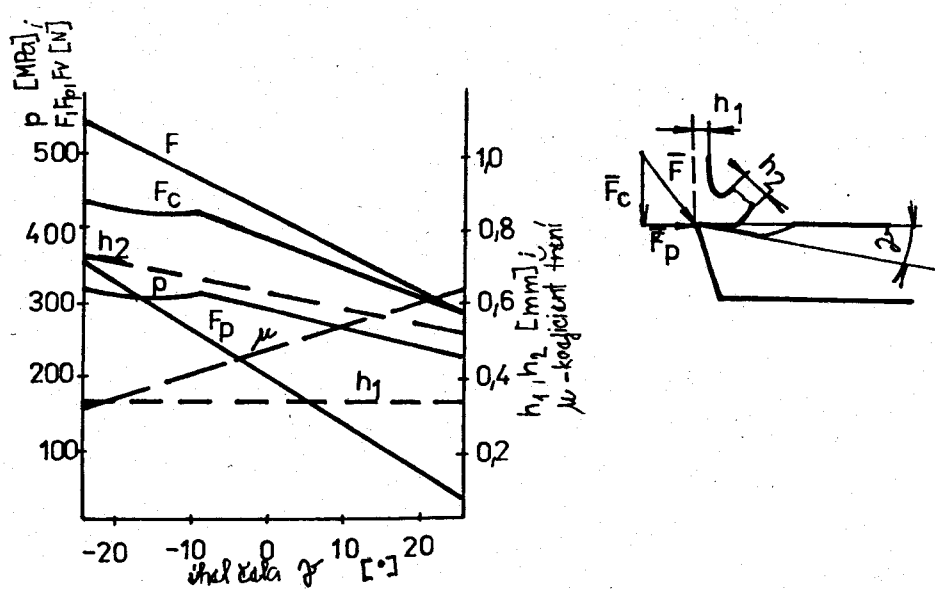
obr. 8.2. [29]



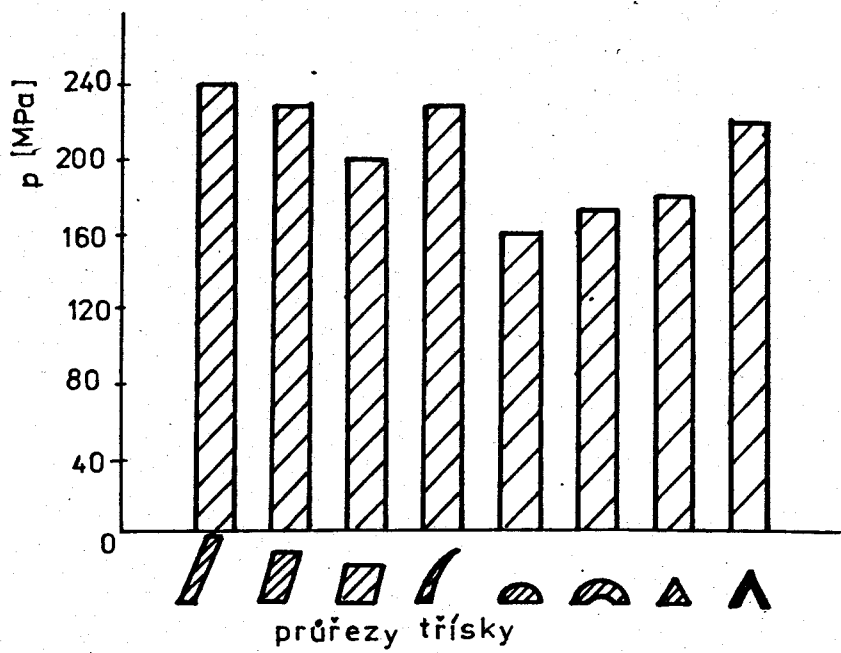
obr. 8.3.[29]



obr. 8.4. [29]



obr. 8.5. [29]



obr. 8.6.[29]

8.1. Řezné síly při frézování

Jednotlivé zuby frézy, které jsou v záběru při frézování, odebírají různě veliký průřez třísky, takže i řezná síla, připadající na jeden zub, je různě veliká. Výsledná síla pak závisí nejen na počtu zubů v záběru, ale i na okamžité poloze zubů frézy vůči obrobku /30/.

Pro válcové frézování platí podle /30/ pro velikost tangenciální síly F_v působící na jeden zub.

$$F_c = p \cdot S = p \cdot B_f \cdot s_z \cdot \sin \psi_F \quad [N] \quad (8.5)$$

p - měrný řezný odpor /MPa/

B_f - šířka frézované plochy /mm/

S - průřez odřezávané vrstvy /mm²/

Celková síla potřebná pro překonání točivého momentu frézy je

$$F_c = c_{F_c} \cdot B_f \cdot s_z^x \sum_{i=1}^{z'} \sin^x \psi_{F_i} \quad [N] \quad (8.6)$$

přičemž

$$z' = \frac{\psi_{\max} \cdot z}{2\pi}$$

Točivý moment všech zubů v záběru je

$$M = c_{Fv} \cdot 0,5 \cdot D \cdot B_f \cdot s_z^x \cdot \sum_1^Z \sin^x \psi_{Fi} \quad [Nm] , \quad (8.7)$$

c_{Fv} - konstanta,

x - exponent.

Při čelném frézování se určí velikost tangenciální složky řezné síly jako

$$F_{C\psi_F} = p \cdot S \psi_F = p \cdot h \cdot s_z \cdot \sin \psi_F \quad [N] , \quad (8.8)$$

po dosazení vztahu

$$p = \frac{c}{a u}$$

za předpokladu

$$x = 1 - u ,$$

platí

$$F_{C\psi_F} = c_{Fv} \cdot h \cdot s_z^x \cdot \sin^x \psi_F \quad [N] , \quad (8.9)$$

dále

$$F_c = c_{F_c} h y s_z \sum_{n=1}^{z'} \sin^x n \psi_F [N], \quad (8.10)$$

přičemž

$$z' = \frac{\psi_F \cdot z}{2\pi}$$

Ostatní složky řezné síly lze také stanovit z experimentálně zjištěných vztahů, z jejich poměru k síle F_v . Tento poměr sil závisí na tom, zda jde o symetrické nebo nesymetrické frézování.

Pro symetrické frézování platí

$$\begin{aligned} F_y &= (0,85 \div 0,95) F_c, \\ F_H &= (0,30 \div 0,40) F_c, \\ F_f &= (0,50 \div 0,55) F_c. \end{aligned} \quad (8.11)$$

Při nesymetrickém frézování protisměrném

$$\begin{aligned} F_y &= (0,45 \div 0,70) F_c, \\ F_H &= (0,60 \div 0,90) F_c, \\ F_f &= (0,50 \div 0,55) F_c. \end{aligned} \quad (8.12)$$

Při nesymetrickém frézování souměrném

$$\begin{aligned} F_y &= (0,90 \div 1,00) F_c, \\ F_H &= (0,15 \div 0,30) F_c, \\ F_f &= (0,50 \div 0,55) F_c. \end{aligned} \quad (8.13)$$

Vliv řezných podmínek na velikost tangenciální složky řezné síly je z části vyjádřen exponenty x a y v rovnicích (8.9) a (8.10). Jedná se o vliv posuvu, tloušťky řezu a hloubky řezu. Vliv řezné rychlosti a úhlu řezu je obdobný jako u soustružení. Pro výpočet výsledné tangenciální řezné síly F_v a řezného výkonu P_{ef} se rovněž používá empirických vzorců odvozených z dynamometrických měření:

$$F_c = c_{F_c} \cdot h^{x_1} \cdot B_f^{x_2} \cdot z \cdot s_z^{x_3} \cdot D^{x_4} \quad [N], \quad (8.14)$$

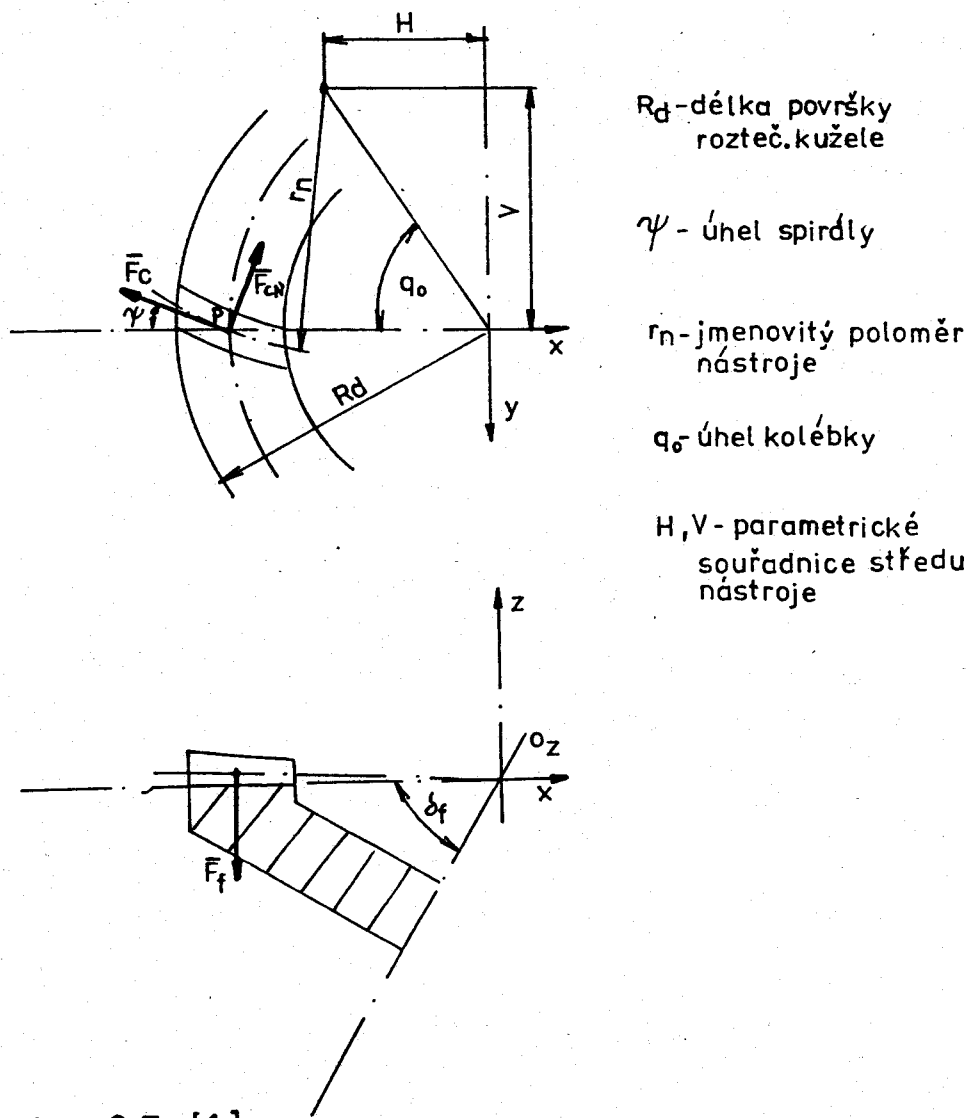
$$P_{ef} = c_p \cdot h^{y_1} \cdot B_f^{y_2} \cdot z \cdot s_z^{y_3} \cdot D^{y_4} \quad [kW]. \quad (8.15)$$

Existuje množství rovnic, které byly získány empiricky. Dosud se nepodařilo nalézt obecný silový zákon, který by platil pro všechny procesy.

Kienzleho vztah je nejúčelnější i z hlediska praxe. Jeho hodnoty pro měrnou řeznou sílu se dají použít nejen pro soustružení, ale i pro ostatní třískové technologie, když bereme v úvahu zvláštnosti těchto technologií.

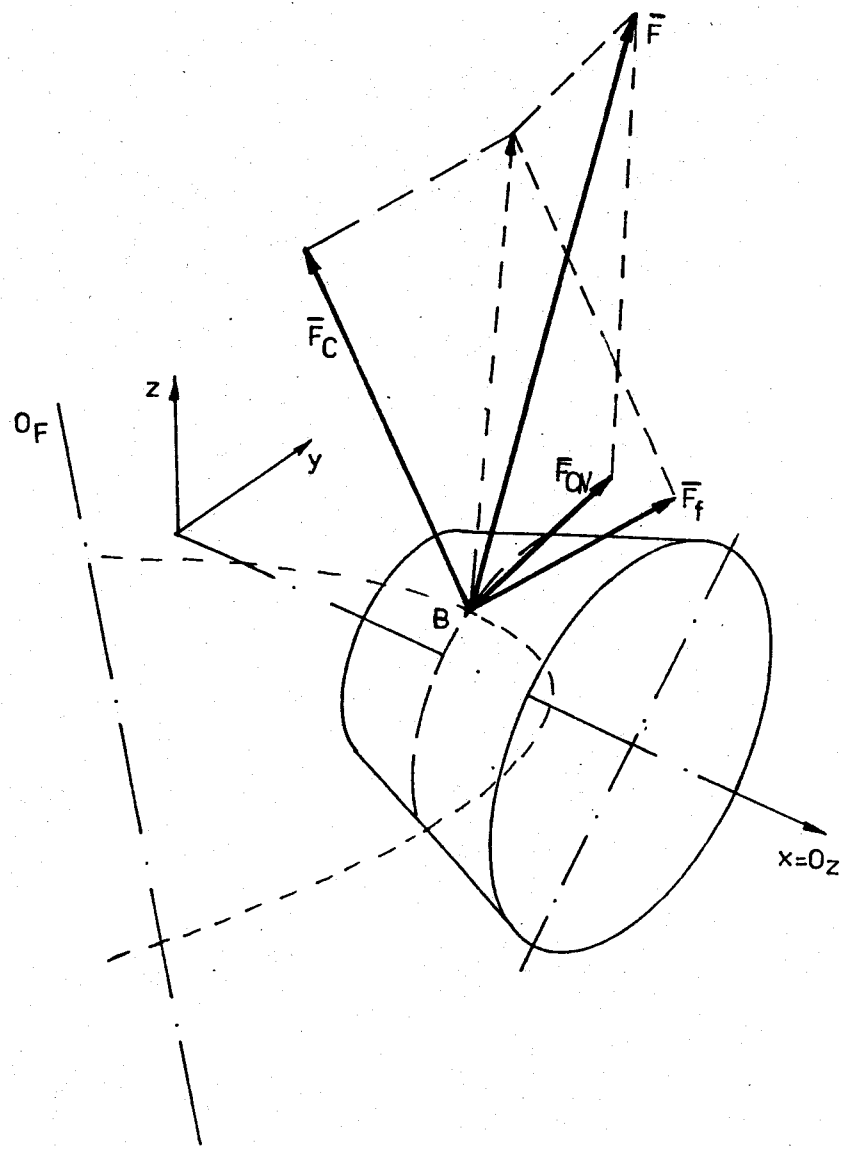
8.3. Řezné síly při frézování ozubených kol se zakřivenými zuby

Při frézování ozubeného kola Gleason odřezává materiál současně několik nožů, a proto je výsledná řezná síla F součtem sil působících na jednotlivé zuby. Poloha složek řezné síly ve směru vektoru rychlosti hlavního řezného pohybu a vektoru rychlosti posuvu je zřejmá z obr. 8.7. Složka F_{CN} leží ve směru kolmém na pracovní boční rovinu.



obr. 8.7 [1]

Řezná síla při obrábění ozubených kol Oerlikon je podle /22/ vyjádřena pomocí tří složek, jejichž poloha je určena pohyby při obrábění. Do směru hlavního řezného pohybu je položena složka síly \bar{F}_C , která je hlavní. V ose, která je určena vektorem posuvné rychlosti, leží složka \bar{F}_f , kterou označujeme za posuvovou. Zbývající složka řezné síly je kolmá na \bar{F}_C a \bar{F}_f a označujeme ji \bar{F}_{CN} (obr.8.8.).



obr. 8.8.[22]

8.4. Výpočet sil při obrábění metodou Oerlikon a Gleason

Při výpočtu se opět vyjde ze vztahu:

$$F = p \cdot a \cdot b \cdot K_F , \quad (8.16)$$

kde p - je měrný řezný odpor;

$$p = \frac{P_{11}}{a^u} ,$$

b - je šířka třísky ,

a - je tloušťka třísky ,

K_F - je opravný koeficient .

V práci /22/ je odvozen vztah pro výpočet síly na elemen-
tu plochy třísky:

$$F = p_{11} \cdot K_F \Delta b^u \cdot \sum_{i=1}^n S_i^{1-u} . \quad (8.17)$$

Výpočet síly F_C provedeme pomocí vztahu (8.17), průřez třísky budeme zjišťovat v rovině kolmé na F_C . Rovnice této roviny je rovněž v práci /22/ odvozena a zní:

$$\bar{v}^o(\bar{X} - \bar{K}_B) = 0 , \quad (8.18)$$

kde \bar{v}^o - jednotkový vektor určující směr normály roviny kolmé na hlavní řezný pohyb

\bar{x} - libovolný bod roviny

\bar{x}_B - polohový vektor bodu B ostří nástroje

Pro sílu F_C tedy platí:

$$F_C = K_{FC} \cdot p_{1,1} \cdot \Delta b \cdot u \sum_{i=1}^n S_i^{1-u} \quad (8.19)$$

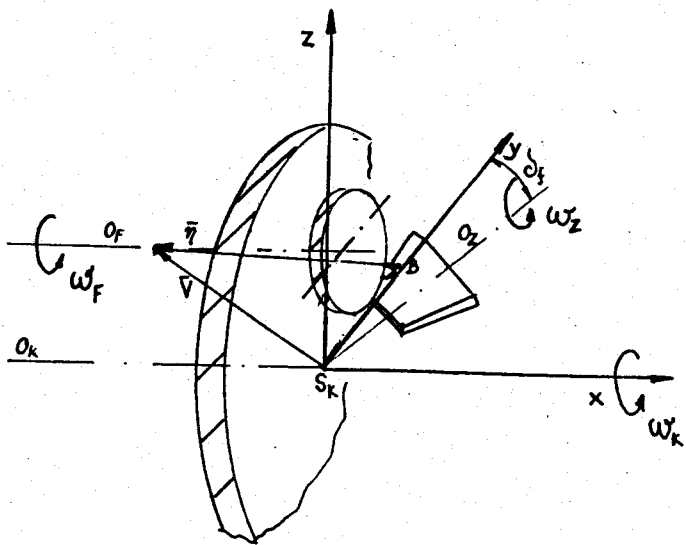
Analogicky lze zjišťovat i velikost sil v ostatních směrech (obr. 8.8.).

Pro výpočet síly F_C při obrábění metodou Gleason vyjdeme ze vztahu (8.19). Rovnice řezné roviny potřebné pro určení průřezu třísky je dána vztahem (6.1).

9. Řešení silových poměrů při frézování kuželových kol Gleason

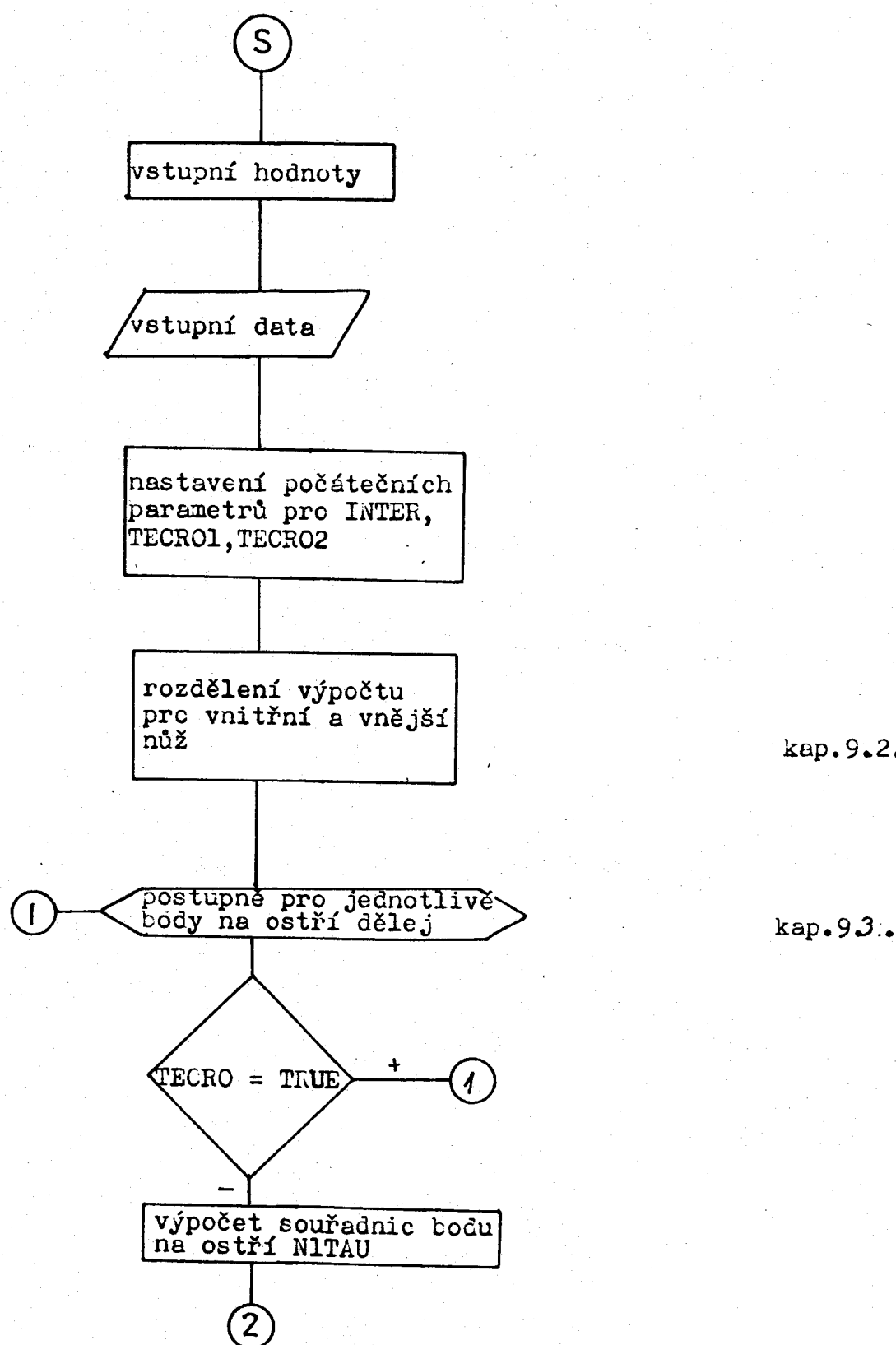
Velikost síly působící na kuželové kolo byla zjištována při výrobě talířového kola T 148. Talířové kolo se vyrábí metodou SPREAD-BLADE oboustranná . Pastorek T 148 se vyrábí metodou FIXED-SETTING pevné seřízení-jednostranná . V n.p. Praga Hrádek nad Nisou byly zjištěny pro toto soukolí údaje v příl.5, 6, 7, 8.

Při řešení uvažujeme schéma obrábění podle obr.9.1.



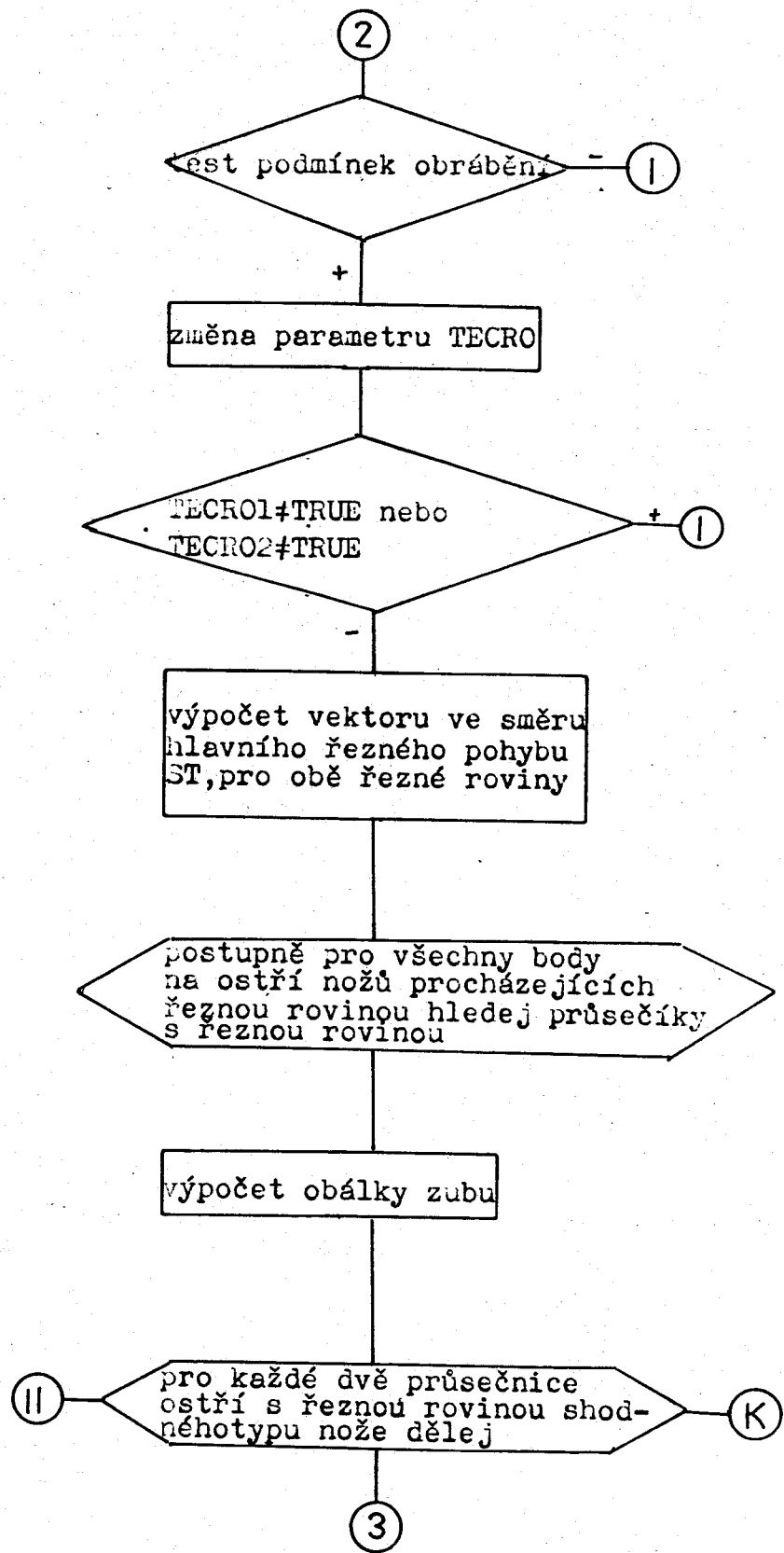
obr. 9.1. [13]

9.1. Vývojový diagram pro výpočet řezné síly F_c a odchylky skutečně vyrobeného boku zuba a obálky zuba (podle LONGA) při dokončování kuželových kol Gleason



kap. 9.2.

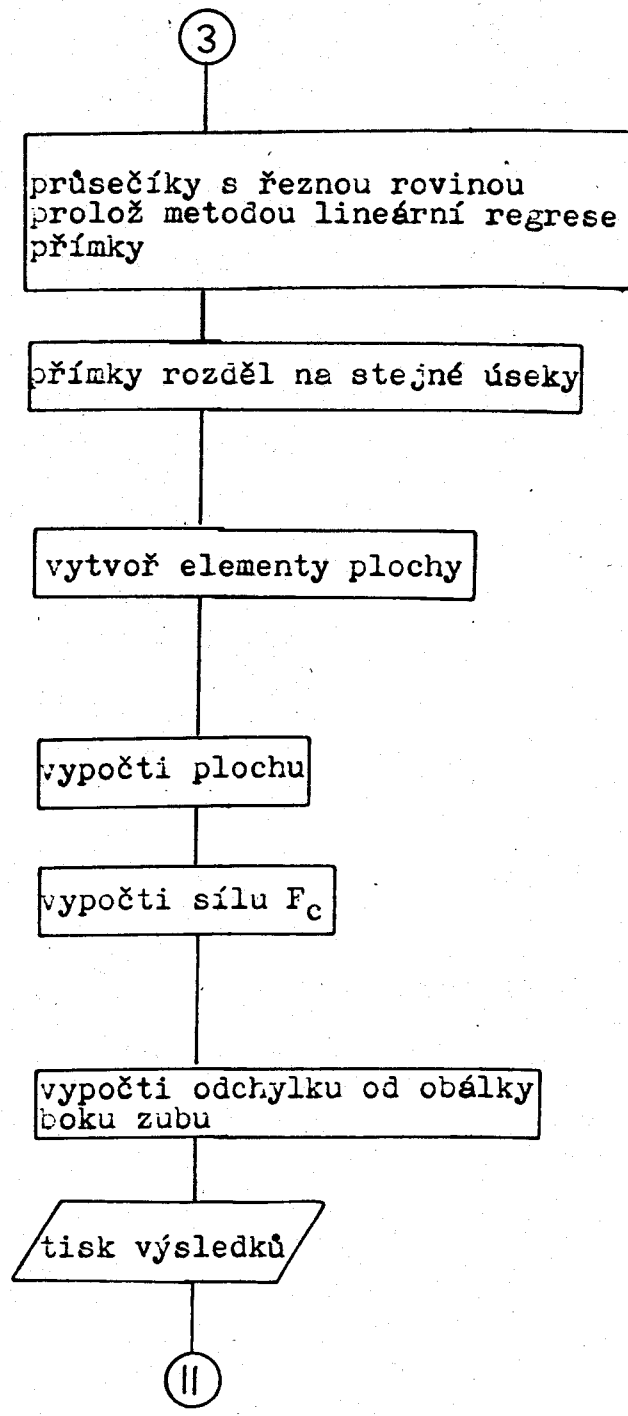
kap. 9.3..



kap.9.4.

kap.9.5.

kap.9.6.



V programu (příl.9) jsou výpočty rozděleny pro vnitřní a vnější nůž tak, jak postupně prochází řeznými rovinami. Přitom jsou respektovány rozdíly, které mezi výpočty pro vnitřní a vnější nůž vznikají.

V této kapitole pro zjednodušení a větší přehlednost byly uvedeny pouze základní postupy při jednotlivých výpočtech. Podrobněji jsou rozebrány v následujících kapitolách a zřejmě jsou z programu (příl.9).

9.2.Rozdělení výpočtu pro vnitřní a vnější nože frézovací hlavy

Při dokončování talířového kuželového kola T 148 frézovací hlavou Duplex 28 nožů , mohou být najednou v záběru maximálně dva nože.Jeden vnitřní a jeden vnější. Proto jsou pro výpočet průřezu třísky zvoleny dvě řezné ravniny.V každém okamžiku je tedy v záběru "dvojice" nožů.Každé takové "dvojici" je přiřazen index NUZ.Dále je nutné rozlišit vnitřní a vnější nůž "dvojice". V počátečním kroku předpokládame, že do první řezné roviny přichází vnitřní a do druhé vnější nůž.Vnitřnímu noži je přiřazen index II=1 a vnějšímu IE=2.V dalším kroku se změní nejprve index NUZ.Vnitřní nůž přejde do druhé roviny II=2 .Do první roviny přijde vnější nůž IE=1 atd.

Změna indexů probíhá po krocích během obrábění jedné zubové mezery.

V(příl.9) je tato část označena P.I.

9.3. Určení řezných rovin

Pomocí podprogramů pro výpočet vektorů \vec{V} (VYPV), tenzorů $\bar{T}_Z^W C$, $\bar{T}_K^W C$, $\bar{T}_F^W C(T)$ vytvoříme podmínky pro výpočet souřadnic na ostří nástroje, podle rovnice (5.32), (VYPN1). Poloha bodu na ostří je určena parametrem u^1 . Pro body na ostří v intervalu $u^1 \in \langle 0,1 \rangle$ hledáme souřadnice a zároveň testujeme podmínky nutné pro obrábění. Vektor bodu ostří podle rovnice (5.32) má souřadnice $K(1), K(2), K(3)$. Musí:

- a) ležet uvnitř obrobku
- b) protínat bok zuba vytvořený hrubováním

ad a) Na povrchu obrobku si zvolíme dva body, jejichž vzájemná vzdálenost odpovídá vzdálenosti dvou sousedních nožů frézovací hlavy. Jeden z bodů leží na vnějším venci. Ze známých geometrických parametrů (příl. 5) určíme vzdálenost těchto bodů od osy obrobku O_Z .

RI2 - vzdálenost prvního bodu od O_Z

RE2 - vzdálenost druhého bodu od O_Z

Dále nalezneme vzdálenost (ASKAL) bodu na ostří od osy O_Z .

Aby bod ostří ležel uvnitř obrobku musí platit:

- pro první rovinu $ASKAL < RI2$
- pro druhou rovinu $ASKAL < RE2$

ad b) Vyhrubovaný bok zuba odpovídá tvaru hrubovacího nástroje.

Ve dvou řezných rovinách je tato plocha navzájem potočena, zároveň se pootáčí i během obrábění.

V rovině x - z podle schématu obrábění (obr. 9.1.) platí pro vyhrubovanou plochu rovnice

$$Z = (\operatorname{tg} \pm 14,5 + C/0,1 \cdot 0,095)(K(1) - 12,18) \quad (9.1)$$

kde - pro vnitřní nůž
 + pro vnější nůž

$C/0,1 \cdot 0,095$ - představuje pootočení plochy během obrábění
 $K(1)$ - x souřadnice bodu na ostří nástroje v první rovině

Upozorňuji na to, že v programu (příl. 9) platí $Z = Y$.

Při otáčení během obrábění se mění nejen směrnice přímky, představující vyhrubovanou plochu v rovině $x - z$, ale i q (průsečík s osou z). Jestliže známe bod o souřadnicích / $x, 0$ / který leží na přímce, mění se q podle vztahu $q = - k \cdot x$, kde k je směrnice přímky a $x = 12,18$.

Ve druhé řezné rovině je vyhrubovaná plocha v počátečním okamžiku vůči ploše v první rovině pootočena o úhel $\xi = 12,8^\circ$. Pootočení odpovídá posunutí řezných rovin. Piatí

$$Z' = (\operatorname{tg} \pm 14,5 + 12,8 + C/0,1 \cdot 0,095)(K(1) + 21,06) \quad (9.2)$$

kde $K(1)$ - x souřadnice bodu na ostří nástroje ve druhé rovině
 $21,06$ - konstanta představující x souřadnici bodu ležícího na přímce / $x, 0$ /

Aby bod ostří protínal tuto plochu v rovině $x - z$ přímku musí platit :

- pro první rovinu $K(3) \geq Z$
- pro druhou rovinu $K(3) \leq Z'$
 - > - pro vnitřní nůž
 - < - pro vnější nůž

Pokud jsou splněny alespoň pro jeden z dvojice podmínky a, b - jsou nalezeny parametry řezné roviny. Hledání ukončíme v okamžiku, kdy jsou nalezeny parametry pro obě roviny. Známe pak

souřadnice bodu ostří, pro který jsou splněny podmínky a, b a čas (T_{C1} , T_{C2}). V programu označeno P.II.

Určíme vektory (VYST) ve směru hlavního řezného pohybu pro obě roviny podle rovnice (6.3). V programu P.III.

9.4 Průsečnice plochy vytvořené nástrcjem s řeznou rovinou

Z předcházející kapitoly máme určeny parametry řezných rovin. Pro další body na ostří nástroje z intervalu $u^1 \in \langle 0,1 \rangle$, $C \in \langle 0, T_{C_n} \rangle$, hledáme průsečíky s řeznými rovinami podle (6.1) (VYPXY). T_{C_n} je čas, ve kterém projde řeznou rovinou jeden nůž. V programu je tato část označena P.IV.

Určíme souřadnice bodu na ostří pro dané u^1 a hledáme minimální hodnotu z výrazu

$$(\bar{K}(u^1, C) - \bar{K}(u^1, T_C)) \nabla = 0 \quad (9.3)$$

pro interval $C \in \langle 0, T_{C_n} \rangle$. Nalezená hodnota představuje průsečík ostří s řeznou rovinou.

Souřadnice průsečíku v rovině řezné určíme
 $X = \bar{K}(u^1, C) \cdot \bar{v}^0$

$Z = \bar{K}(u^1, C) \cdot \bar{w}^0$
kde \bar{v}^0 , \bar{w}^0 jsou jednotkové vektory roviny kolmé na hlavní řezný pohyb a platí pro ně: $\bar{v}^0 = \frac{\bar{v}}{|\bar{v}|}$, $\bar{v} \cdot \bar{v} = 0$

$$\bar{w}^0 = \frac{\bar{w}}{|\bar{w}|}, \quad \bar{w} \cdot \bar{w} = 0$$

Takto nalezneme průsečíky všech bodů na ostří nástroje. Průsečíky tvorí průsečnicí plochy nástroje s řeznou rovinou. Pro určení průřezu třísky je nutné zjistit jaká část průsečnice se podílí na tvorbě třísky.

Pro jednotlivé průsečíky musí platit

$$K(3) \geq Z$$

kde

> - pro vnitřní nůž

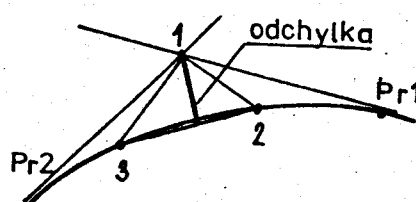
< - pro vnější nůž,

aby se aktivně podílely na tvorbě třísky.

9.5 Odchylka vyrobeného boku zuba a obálky boku zuba

Podle LONGA (5.14) zjistíme souřadnice obálky boku zuba (BDOB), vytvořené během obrábění jedné zubové mezery. V programu část P.V. Mezi obálkou a skutečnými průsečnicemi nástroje s řeznou rovinou existuje odchylka, jejíž velikost je závislá na rychlosti obrábění. Odchylku představuje vzdálenost mezi průsečíkem dvou následujících průsečnic a obálkou.

Tuto vzdálenost zjišťujeme tak, že postupně hledáme vzdálenosti mezi průsečíkem dvou průsečnic (nalezení průsečíku je vysvětleno v kap 9.5.) a body obálky (VZDOB). Hledáme dvě nejmenší hodnoty. Pomocí takto nalezených dvou bodů obálky sestrojíme trojúhelník (obr. 9.2.) a vypočítáme jeho výšku. Nalezená výška trojúhelníka je hledanou odchylkou.



obr. 9.2.

9.6. Výpočet řezné síly F_c

Pro zjištění řezné síly je nejprve nutné určit plochu třísky. průřez třísky určují vždy dvě následující průsečnice téhož typu nože , vnitřního nebo vnějšího . Z výpočtu v kapitole 9.3. známe průsečíky, jež určují průsečnici plochy nástroje s řeznou rovinou a podílejí se aktivně na tvorbě třísky. Metodou lineární regrese (LINREG) proložíme těmito body přímku. Výpočet je opět rozdělen pro dvě řezné roviny. Najdeme průsečík dvou průsečnic (PRUSEC) . Průsečík je koncovým bodem průřezu. Jako první aktivní bod pro určení průřezu třísky zvolíme bod, který ještě není uvnitř plné plochy obrobku, ale je nejbližše vyhrubované ploše při vzdálenosti mezi body na ostrí nástroje při zvoleném kroku v intervalu $u^1 \in \langle 0,1 \rangle$. Chyba , která tím vznikne, je při dostatečně malém kroku zanedbatelná.

Části takto omezených průsečnic tvorících třísku rozdělíme pomocí soustředných kružnic (KRUZPR) s konstantním přírůstkem poloměru na určitý počet bodů, od sebe stejně vzdálených . Spojením čtyř odpovídajících bodů vytvoříme element třísky, jehož plochu spočítáme (PLOCHA) .

Velikost síly je závislá na tloušťce třísky . Vyjdeme-li pro výpočet síly ze vztahu (8.19), můžeme pro výpočet síly použít plochu třísky, kterou tvorí součet ploch elementů třísky.

Na závěr vytiskneme velikost síly F_c a velikost odpovídající odchylky vždy pro obě řezné roviny.

Závěrečná část programu je označena P.VI. Názvy v závorkách označují vždy tu část programu, která se konkrétně vztahuje k popsanému problému.

10. Závěr

V diplomové práci byly v uvodní teoretické části (kap. 2. - 8.) zpracovány otázky týkající se obrábění tvarově složitých ploch se zaměřením na průřez třísky a síly vznikající při obrábění kuželových kol se zakřivenými zuby.

V další části byly vytvořeny algoritmy pro výpočet průřezu třísky, síly ve směru hlavního rezného pohybu a algoritmus pro zjištění odchylky skutečně vyrobeneho boku zuba a obálky boku zuba při dokončování kuželových kol Gleason. Podle algoritmů byl sestaven vývojový diagram (kap. 9.1.) a program (příl. 9).

Program zpracovaný v jazyce FORTRAN 77 byl formálně odladěn na počítači SM 1420 ve Výzkumném ústavu pro hnědé uhlí v Mostě. Vzhledem k tomu, že problematika řešená v diplomové práci vyžaduje poměrně složité matematické aplikace a programové řešení je náročné jak věcně, tak časově, nebylo možné v době vymezené ke zpracování diplomové práce odladit program na konkrétním případě. Pro dořešení automatizovaného výpočtu rezných sil a odchylky obrábění a jeho uplatnění v praxi bude potřebné provést odladění programu pro konkrétní vstupní údaje. Výsledky výpočtu umožní volit vhodné rezné podmínky se zřetelem na optimální namáhání nožů frézovací hlavy a požadovanou přesnost boku zuba.

Použitá literatura

- /1/ ALI FL-CHEIKH YOUSSEF: Měření řezných sil při frézování ozubených kol Gleason.(Diplom.práce).Liberec 1984-VŠST. Fakulta strojní.
- /2/ BUDINSKÝ,B.-KEPR,B.: Základy diferenciální geometrie s technickými aplikacemi.1.vyd.Praha.1970.
- /3/ ČERNOCH,S.: Strojně technická příručka,13.vyd.,Praha SNTL,1977.
- /4/ DEGNER, LUTZE, SMEJKAL: Spanenge Formung, VEB Verlag Technik Berlin,1987.
- /5/ DRÁB,V.: Technologie I,skriptum VŠST Liberec,Liberec 1979.
- /6/ EDER,E.: Berechnung S Verfahren zur Schnittkraftbestimmung bei Fräsanbliten."Maschinenmark".1984.90.
No 95,2 307-2 309.
- /7/ KARPÍŠKOVÁ,M.:Záběrové pole a tříška při odvalovacím frézování.(Diplom.práce).Liberec 1976-VŠST.Fakulta strojní.
- /8/ KIENZLE,O.-VIKTOR,H.: Spez, Schnittkräfte bei der Metallbearbeitung, Werkstatttechn. u. masch.-Bau 47(1957).
- /9/ KILČEVSKIJ,N.A.: Základy tenzorového počtu.1.vyd.Praha. 1956.
- /10/ KLUBÍČKOVÁ,M.: Analytické určení průřezu třísky při odvalovacím frézování.(Diplom.práce).Liberec 1977-VŠST. Fakulta strojní.
- /11/ KVAPIL,R.: Konstrukční a technologické parametry odvalovacích fréz.(Kandidát.pr.).Liberec 1979-VŠST.Fakulta strojní.

- /12/ LITVIN, F.L.: Opredelenije ischodnykh parametrov i korektur dla nich pri narezanii koničeskikh koles s krugovymi zubjami. Vsb. "Teoria peredač v mašinach", Izd.-vo "Mašinostrojenie" 1966.
- /13/ LONG, B.T.: Obecná teorie vytváření povrchových ploch součástí obrábění s aplikacemi na prostorová ozubení pomocí samočinného počítače. (Disertační práce). Liberec 1977-VŠST. Fakulta strojní.
- /14/ MITROVIĆ, R.: Sile rezanja pri odvalnom glodenju, 1.vyd., Kragujevac, 1974.
- /15/ NAKAYMA, K.: Chip control in metal cutting. "Bull.Jap. Soc.Precis.Eng.", 1984, No 2, 97-103.
- /16/ NOVOTNÝ, P.: Výpočet výchozího povrchu odvalovací frézy na číslicovém počítači. (Diplom.pr.). Liberec 1978-VŠST. Fakulta strojní.
- /17/ OANCEA, N.-CONSTANTIN, E.: Etude comparative du chargement des dents des fraises h lico dales-module. An. Univ. Galati. Mec. si constr.mas, 1986, 4 № 5, 25-31.
- /18/ PAPEŽ, K.: Měření řezných sil při soustružení. 1971. Strojírenství. Roč. 21. Č 12. Str. 739-746.
- /19/ PAVLÍČEK, J.: Výchozí povrch odvalovacích fréz pro profily s kruhovými oblouky. (Diplom.pr.). Liberec 1981-VŠST. Fakulta strojní.
- /20/ PAZOUR, I.: Vyšetřování výchozího povrchu odvalovacích fréz. (Diplom.pr.). Liberec 1977-VŠST. Fakulta strojní.
- /21/ PROCHÁZKA, J.: Technicko-ekonomické porovnání zkl. metod výroby kuželových kol se zakřivenými zuby-Gleason Helixform, Oerlikon, Klingelnberg, Sb. přednášek z Celostátní konference o nových směrech v konstr., nástrojích,

- výr. a měř.ozub. kol, III.část, str.95, 1969.
- /22/ PRŮŠEK,A.: Průřezy třísek při frézování soukoli Oerlikon.(Diplom.práce).Liberec 1980-VŠST.Fakulta strojní.
- /23/ RADZEVIČ,S.P.: Sposob obrabotki složnych pověrchnostěj. Dneprodzerž.in.-t.A.S.133 1617, Opubl. v B.I., 1987, No31.
- /24/ RODIN,P.R.: Základy teorie navrhování řezných nástrojů. Praha, SNTL/SVTL 1963.
- /25/ RODIN,P.R.: Osnovy formoobrazovanija pověrchnostěj rezaniem.Kijev,Višša škola 1977.
- /26/ SILKIN,B.P.-STROŠKOV,V.V.: Obrabotka koničeskich koles dvuchstoronimi zuboreznymi golovkami."Mašinostrojitel". 1985.No 9,25.
- /27/ SMOLNIKOV,N.J.-NAROŽNICH,A.A.: K voprosu teoretičeskogo opredelenija sil dejstvujuščich v procese nesvobodnogo rezanija.Volgogr.Politechn.in.-t.9.sv.,Volgograd,1987.
- /28/ SULZER,G.: Bestimmung der Spannungsgurschnitte bei Wälzfräzen,Ind.-Anz.,1974 96.No 12.
- /29/ VIFREGGE,G.: Zehspanung der Eisenwerkstoffe,2.vyd., Verlagstahleisen M.B.H.,Düsseldorf,1970.
- /30/ VIGNER,M.-PŘIKRYL,Z.: Obrábění,1.vyd.,Praha SNTL,1984.

Seznam příloh :

1. Stroje na výrobu ozubení Gleason
2. Výpočet základních rozměrů ozubení Gleason
3. Stroje na výrobu eloidního ozubení
4. Výpočet základních rozměrů ozubení Oerlikon
5. Geometrické parametry ozubení
6. Řezné podmínky pro dokončování talířového kola Gleason
a pastorku T 148
7. Hrubovací hlava Triplex pro talířové kolo T 148
8. Dokončovací hlava Duplex pro talířové kolo T 148
9. Program pro dokončování kuželových kol Gleason

Diplomová práce byla vypracována v souladu se zadáním a po dohodě s vedoucím diplomové práce s. ing. Alešem Průškem. Po-kládám za milou povinnost vyslovit poděkování vedoucímu diplomovo-vé práce za cenné připomínky a odborné rady ke způsobu zpracování a náplni práce.

Dále děkuji s. ing. V. Kracíkovi, CSc. z KTK VŠST Liberec za konzultace při zpracování matematických aplikací v teoretické části diplomové práce, s. Wittekovi z n.p. PRAGA Hrádek nad Nisou za ochotu a pomoc při shromažďování podkladů pro diplomovou práci a s. ing. J. Stočesovi, CSc. z VÚHÚ Most za pomoc při zpracování programu.

(Zde je slavnost

příl. 1 . Stroje na výrobu ozubení Gleason / 3 /

Země	U.S.A ⁺					
Typ stroje	3	106 108	8	112	No 11	15
Max. průměr rozteč. kružnice/max. a min. p pro $\gamma = 30^\circ$	81/1:1 112,5/1:4	152/1:1 216/1:10	203/1:1 279/1:6	267/1:3 267/1:10	394/1:1 330/18	325/1:1 455/1:8
Max. a min. délka površky zubů kuželet	57 0	131	143 0	165 133	165	228
Max. čelní modul	2,1	6,35	6,35	10,2	7,25	10
Max. šířka ozubení	16	32	38	41	44	44
Max. a min. počet zubů	80 8	175 5	60 7	150 20	75 30	100 5

Země	USA ⁺			SSSR			NDR
Typ stroje	No 16 H	116 118	No 26 No 28	523 A	525	528 C	ZFWKKM
Max. průměr rozteč. k./max. a min. p pro $\gamma = 30^\circ$	323/1:1 457/1:10	324/1:1 559/1:12	591/1:1 838/1:10	81/1:1 113/1:4	350/1:1 500/1:10	600/1:1 800/1:10	323/1:1 457/1:1
Max. a min. délka površky zubů kuželet	230 0	230 0	419 0	57 0	225 0	420 0	230 0
Max. čelní modul	10	12,7	16,9	2,5	10	15	10
Max. šířka ozubení	65	70	102	16	65	100	65
Max. a min. počet zubů	100 5	150 5	200 5	80 8	110 5	100 4	100 5

+ Na strojích zakončených číslicí 8 je možno vyrábět Formate.

příl. 2 . Výpočet základních rozměrů ozubení Gleason / 3 /

	Pastorek	Kpolo
Zvolené hodnoty		
Počet zubů	z_1	z_2
Čelní modul	m_t	
Šířka ozubení		$b < 10 m_t$
Úhel sklonu zuba		γ
Hloubka záběru		$h_k = 1,7 m_t$
Výška zuba		$h = 1,888 m_t$
Roztečný průměr na vnějš. konci	$D_1 = z_1 m_t$	$D_2 = z_2 m_t$
Roztečný úhel	$\operatorname{tg} \delta_1 = \frac{z_1}{z_2}$	$\delta_2 = 90^\circ - \delta_1$
Vnější kuželová vzdále- nosť		$R_d = \frac{D_2}{2 \sin \delta_2}$
Obvodová rozteč na vnějš. konci		$t_t = m_t \pi$
Výška hlavy	$h_{a1} = h_k - h_{a2}$	$h_{a2} = m_t \left(0,46 + \frac{0,39}{(z_1/z_2)^2} \right)$
Výška paty	$h_{f1} = h - h_{a1}$	$h_{f2} = h - h_{a2}$
Hlavová vůle		$c_a = h - h_k$
Úhel paty	$\operatorname{tg} \tilde{\nu}_{f1} = h_{f1} / R_d$	$\operatorname{tg} \tilde{\nu}_{f2} = h_{f2} / R_d$
Hlavový úhel	$\delta_{a1} = \delta_1 + \tilde{\nu}_{f1}$	$\delta_{a2} = \delta_2 + \tilde{\nu}_{f2}$
Patní úhel	$\delta_{f1} = \delta_1 - \tilde{\nu}_{f1}$	$\delta_{f2} = \delta_2 - \tilde{\nu}_{f2}$
Hlavový průměr na vnějš. konci	$D_{a1} = D_1 + 2h_{a1} \cos \delta_1$	$D_{a2} = D_2 + 2h_{a2} \cos \delta_2$
Vzdál.vrcholu rozteč.ku- žele a nejvzd.bodu ozub.	$k_1 = \frac{D_2}{2} - h_{a1} \sin \delta_1$	$k_2 = \frac{D_1}{2} - h_{a2} \sin \delta_2$
Součinitel záběru krokem		ϵ_k
Součinitel záběru profilu		ϵ_p

p ř í l . 3 . Stroje na výrobu eloidního ozubení / 3 /

[mm]	Spiromatic1	Spiromatic2	Spiromatic3
Max.průměr roztečné kružnice	350	540	700
Max.a min.délka površky rozteč.kuželes	175	280 60	330
Max.a min.čelní modul	3÷10	2,75÷13,6	5÷15,5

Příl. 4 . Výpočet zákl.rozměrů ozubení Oerlikon / 3 /

Volné hodnoty	Pastorek	Kolo
Počet zubů	z_1	z_2
Čelní modul	m_t	
Úhel sklonu zuba ve výpočtovém bodě	ψ	
Roztečný průměr	$D_1 = m_t z_1$	$D_2 = m_t z_2$
Počet zubů plochého kola		$z_d = \sqrt{z_1^2 + z_2^2}$
Roztečný úhel	$\sin \delta_1 = z_1/z_d$	$\sin \delta_2 = z_2/z_d$
Vnější kuželová vzdálenost		$R_d = D_2 / 2 \sin \delta_2$
Šířka ozubení		$b \sim 0,28 R_d$
Výpočtová kuželová vzdálenost		$R_{ds} = R_d - 0,415 b$
Vnitřní kuželová vzdálenost		$R_i = R_d - b$
Normální modul ve výpočtovém bodě		$m_p = 2(R_d/z_d) \cos \psi$
Nekorigovaná výška hlavy		$h_a = m_p$
Nekorigovaná výška paty		$h_f = 1,15 h_a + 0,35$
Max.výška paty zuba pastorku		$h_f' = R_i \operatorname{tg} \delta_1 \frac{\sin^2 \delta}{\cos^2 \psi} + 0,75 r_{kw}$
Korigovaná výška hlavy	$h_{a1} = h_a + x_m$	$h_{a2} = h_a - x_m$
Korigovaná výška paty	$h_{f1} = h_f - x_m$	$h_{f2} = h_f + x_m$
Korekce		$x_m = h_f - h_f'$
Součinitel záběru profilu		ε_p
Součinitel záběru krokem		ε_k

příl. 5. Geometrické parametry ozubení

	Pastorek	Kolo
Počet zubů	$z_1 = 13$	$z_2 = 44$
Vnější čelní modul	$m_t = 9,0$	
Šířka ozubení	$b = 47$	
Hloubka záběru zubů		$h_k = 15,3$
Celková hloubka z.		$h = 16,99$
Úhel záběru		$\alpha = 14^\circ 30'$
Roztečný průměr	$D_1 = 117$	$D_2 = 396$
Úhel roztečného kuželes	$\delta_1 = 16^\circ 28'$	$\delta_2 = 73^\circ 32'$
Vnější kuželová vzdálenost		$R_d = 206,46$
Hlava zuba	$h_{az} = 10,89$	$h_{az} = 4,41$
Pata zuba	$h_{f1} = 6,10$	$h_{f2} = 12,58$
Hlavová vûle		$c_a = 1,69$
Úhel paty zuba	$\vartheta_{f1} = 1^\circ 41'$	$\vartheta_{f2} = 3^\circ 29'$
Úhel hlavového kuželes	$\delta_{az} = 19^\circ 29'$	$\delta_{az} = 74^\circ 45'$
Úhel patního kuželes	$\delta_{f1} = 14^\circ 47'$	$\delta_{f2} = 70^\circ 03'$
Vnější hlavový průměr	$D_{az} = 137,9$	$D_{az} = 398,5$
Vzdálenost hrany	$H_{x1} = 194,91$	$H_{x2} = 54,27$
Úhel spirály	$\psi = 28^\circ 50'$	$\psi = 28^\circ 50'$
Úhel os		$\zeta = 90^\circ$
Smysl spirály	(levý)pravý	(pravý)levý

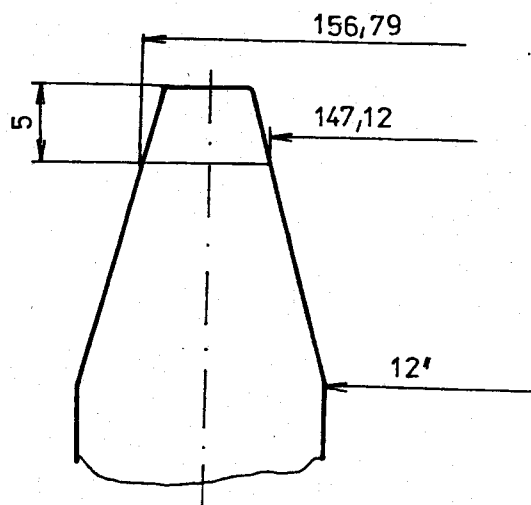
příl. 6 . Řezné podmínky pro dokončování talířového kola a pastorku Gleason T 148

Řezné podmínky	Kolo		Fastorek	
	hrubování	hlazení	hrubování	hlazení
i	44	44	13	13
v [m.min ⁻¹]	34	43	38	43
n [ot.min ⁻¹]	35,5	45	40	45
t [s.zub.mezera ⁻¹]	28	56	65	65
Použité stroje				
	ZFKK500x10	ZFTKK 500x10	ENIMS 520	ZFTKK 500x10

příl. 7. Hrubovací hleva Triplex pro talíř.kolo Tl48

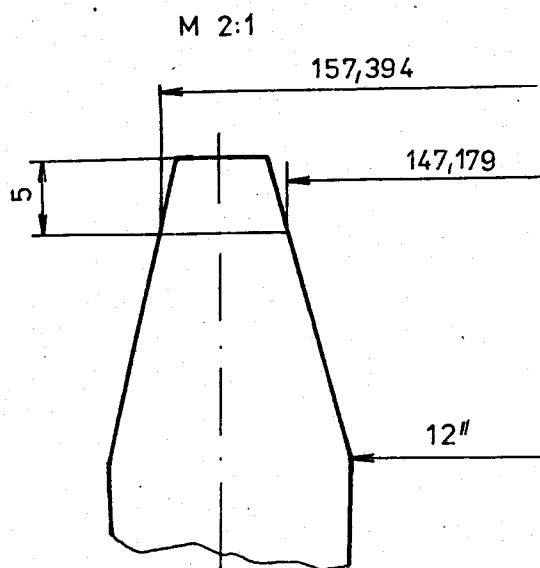
Počet nožů	36
Střední rozpichovací	18
Vnitřní	9
Vnější	9
Jmenovitý průměr	12
Označení nožů	1930'-N-150'

M 2:1

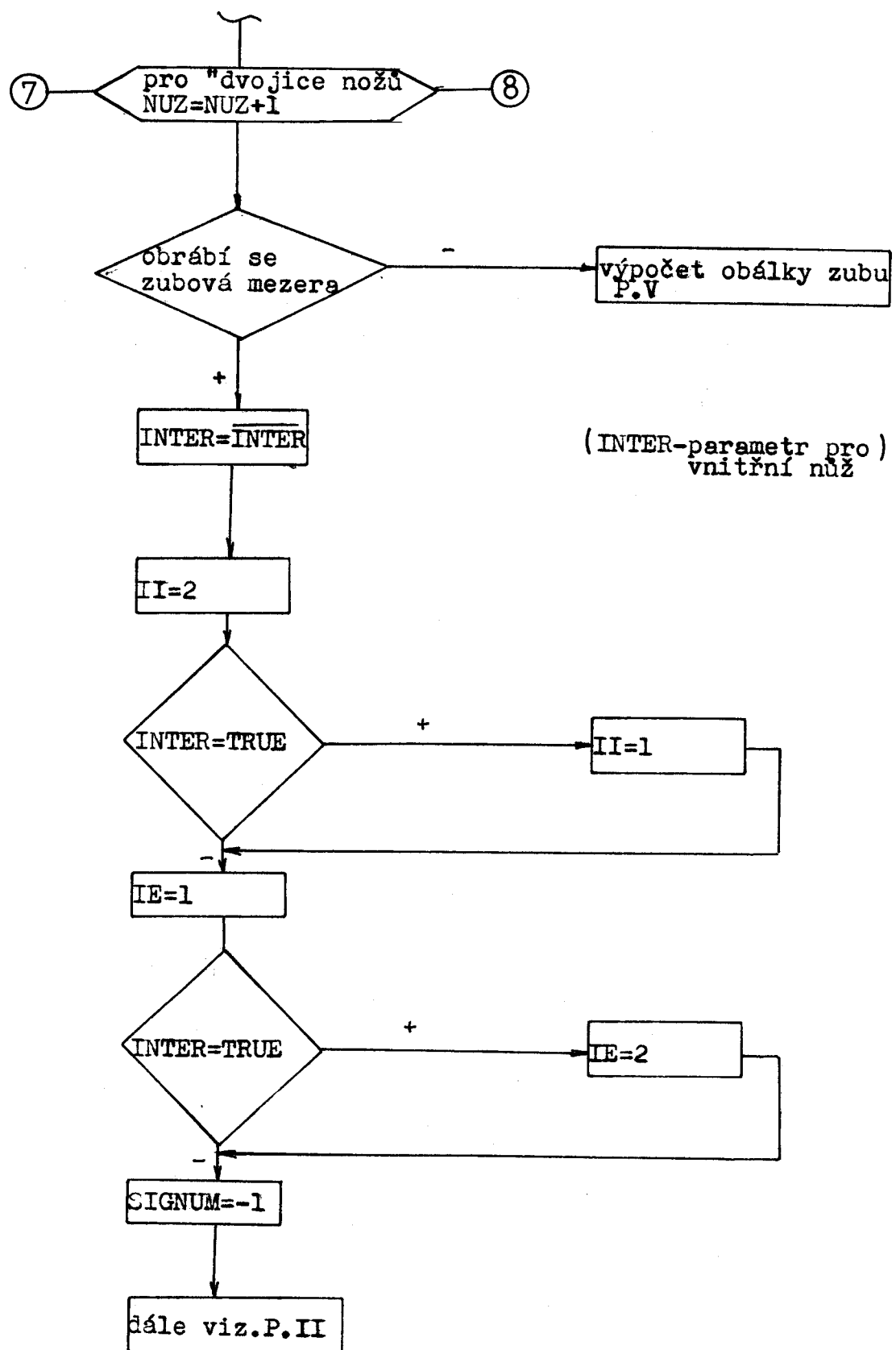


příl. 8 . Dokončovací hlava Duplex pro talíř.kolo T148

Počet nožů	28
Vnitřní	14
Vnější	14
Jmenovitý průměr	12"
Označení nožů	1430x7½-M

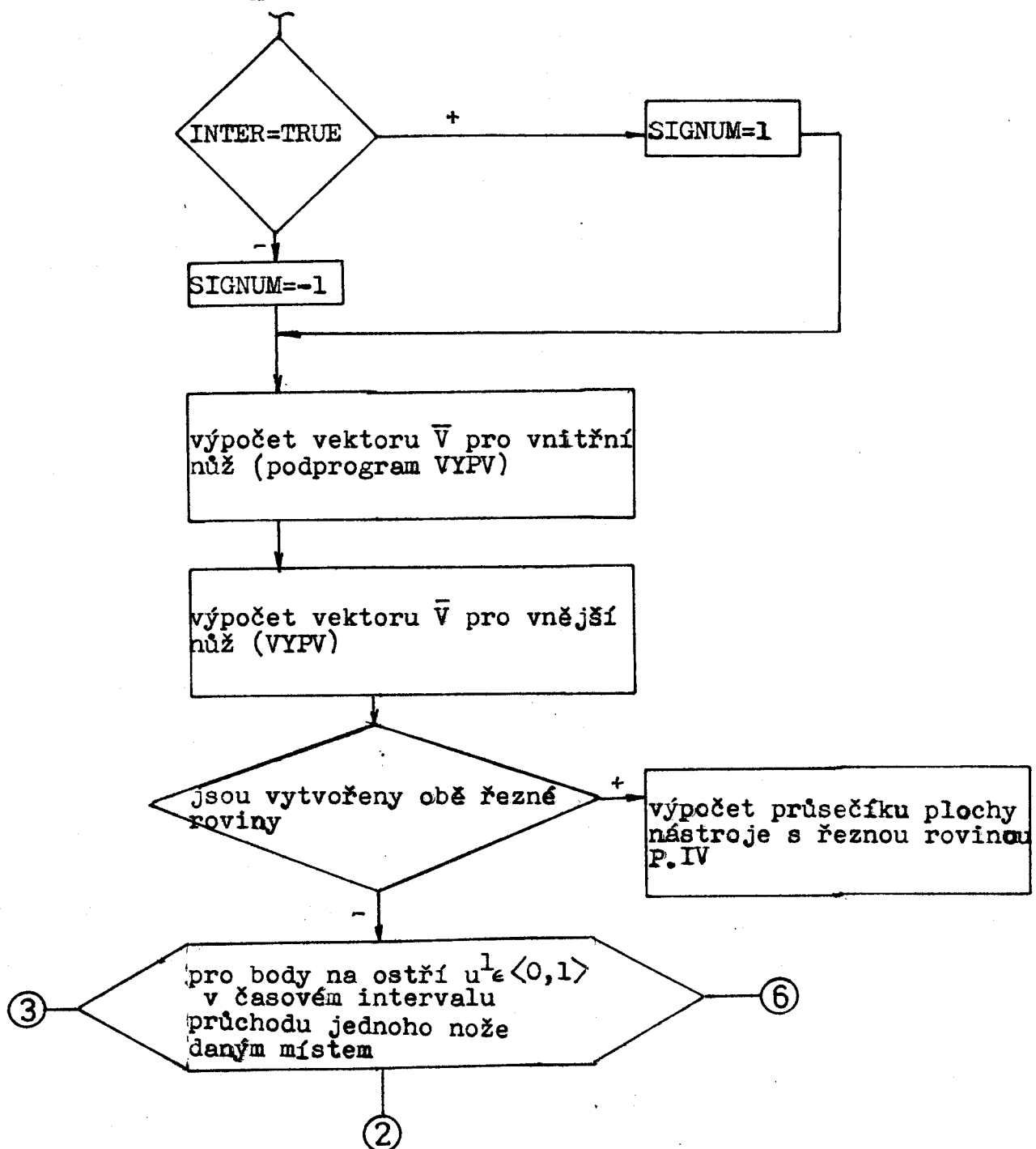


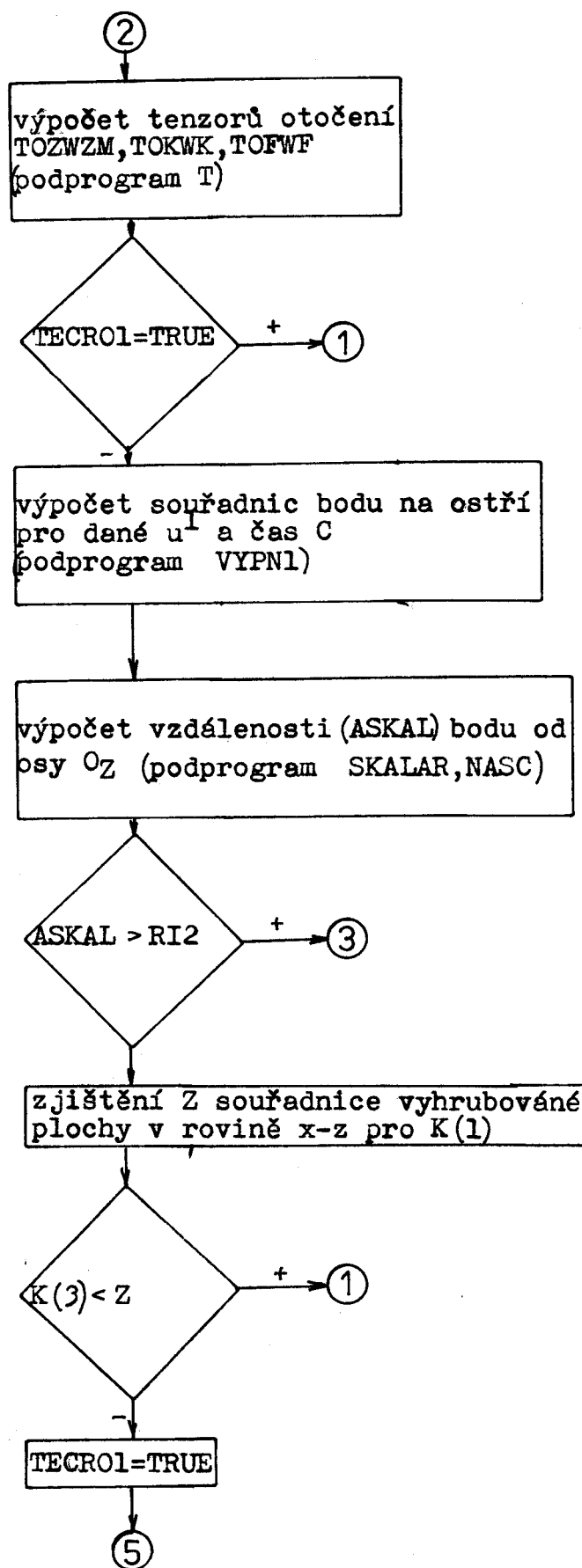
příl. 9a. Vývojový diagram části programu P.I

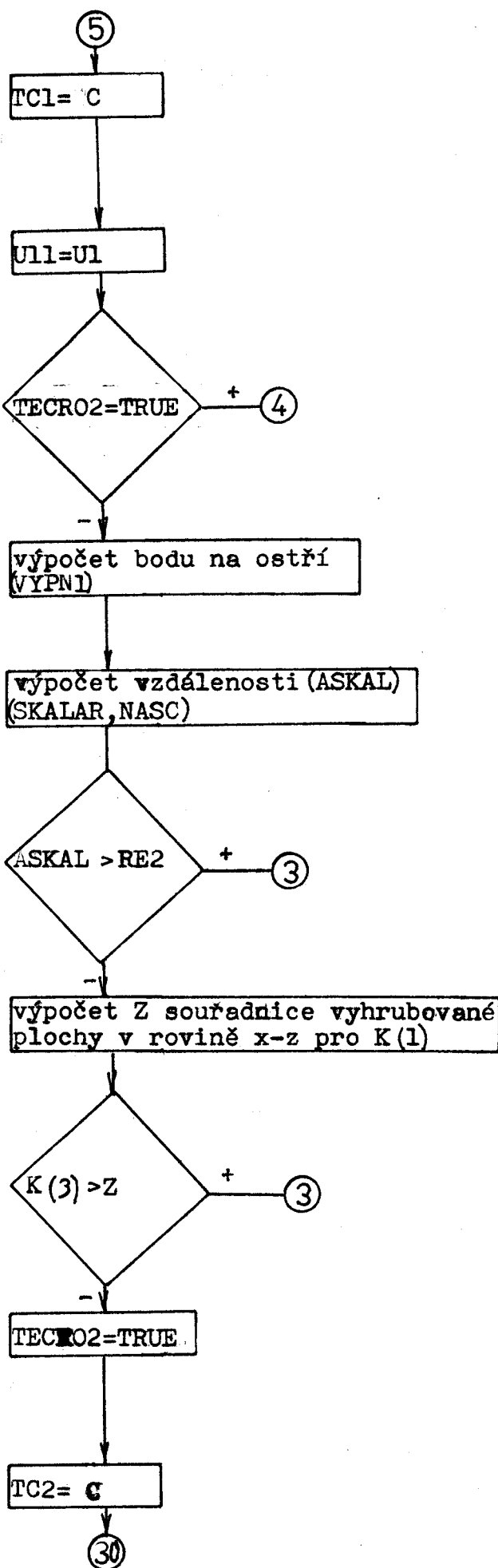


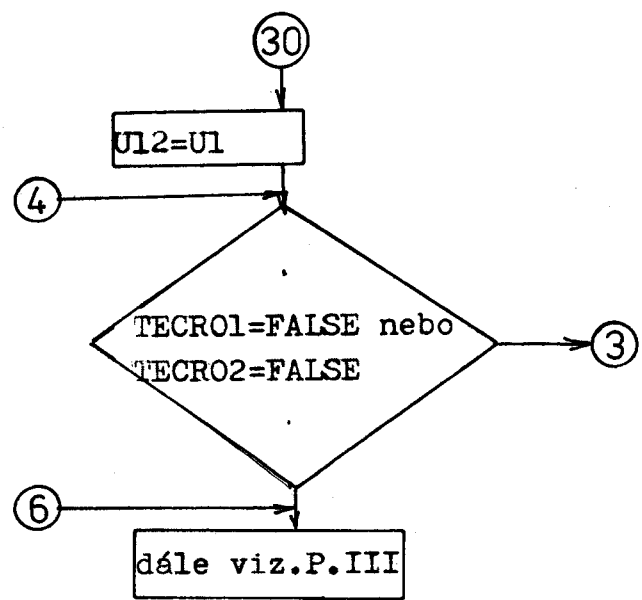
příklad 9b. Vývojový diagram části programu P.II

Vektor \bar{V} z počátku souřadného systému do vrcholu kuželeta vytvořeného prodlouženým ostřím nástroje používaný při výpočtu má souřadnice $\bar{V} = (r_n \cdot \cot \gamma \sqrt{(A - r_n \cdot \sin \psi)^2 + r_n^2 \cdot \cos^2 \psi} \cdot \cos \tilde{\psi}, \sqrt{(A - r_n \cdot \sin \psi)^2 + r_n^2 \cdot \cos^2 \psi} \cdot \sin \tilde{\psi})$ /13/

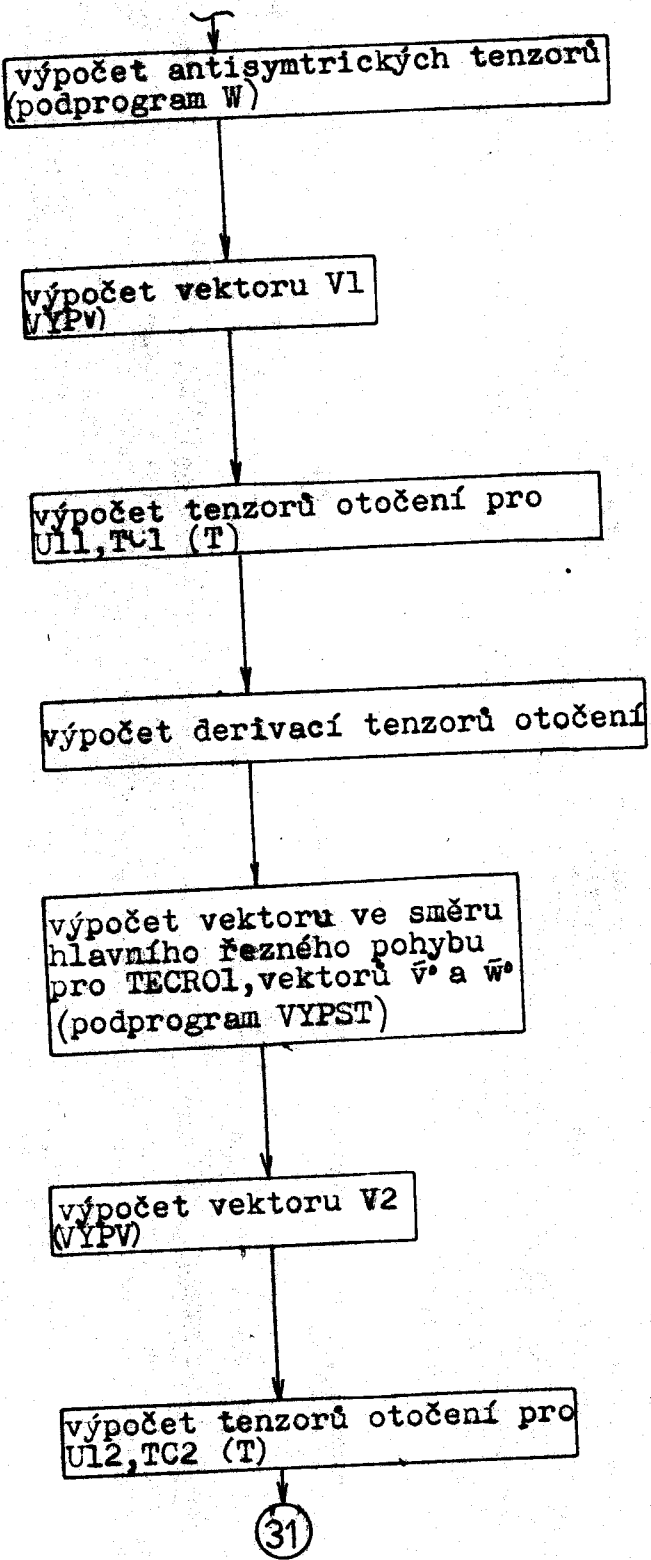








příl. 9c. Vývojový diagram části programu P.III



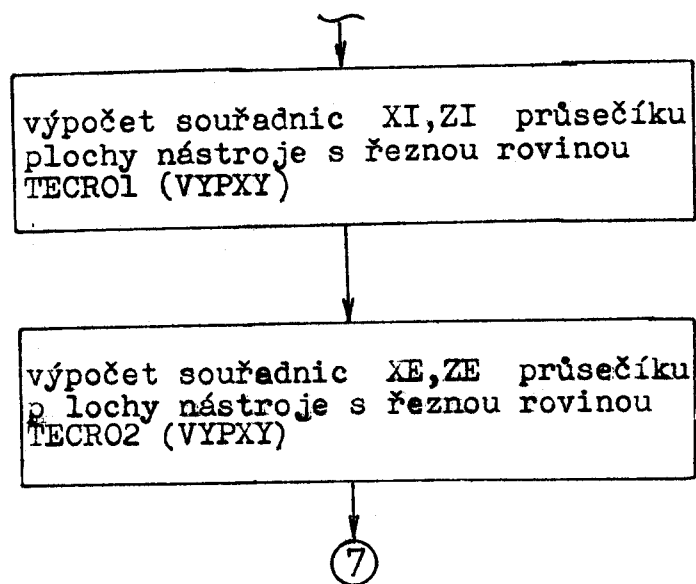
31

derivace tenzoru otočení

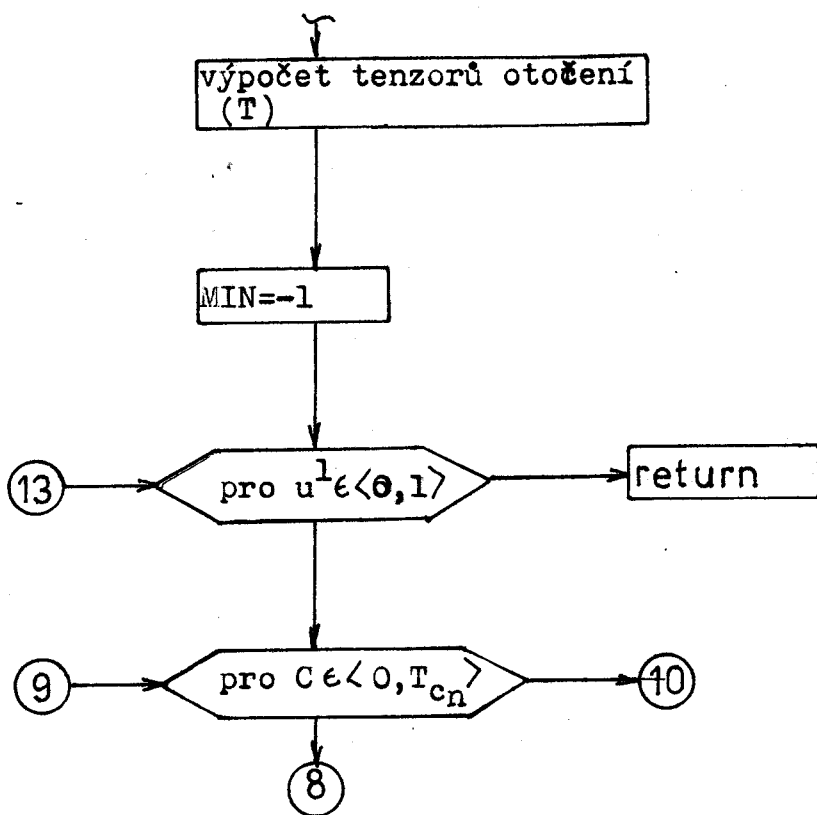
výpočet vektoru ve směru hlavního
řezného pohybu pro TECR02, vektoru
 \bar{v}^* a \bar{w}^* (VYPST)

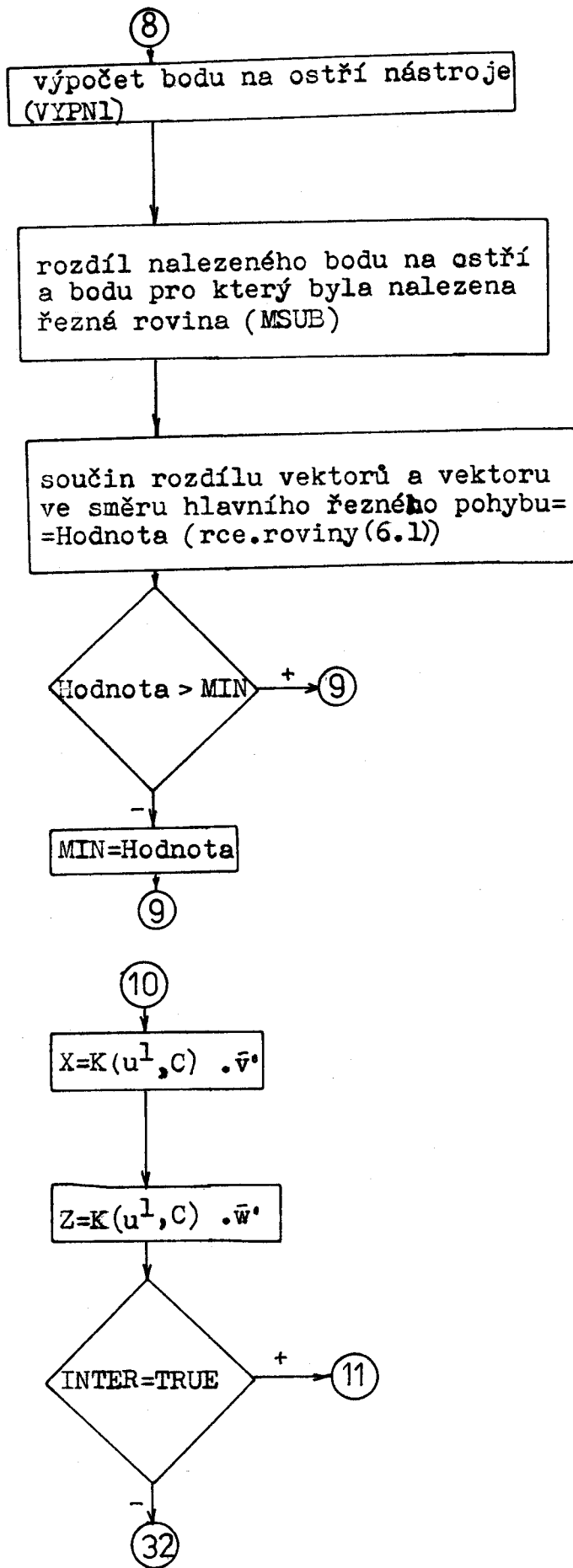
dále viz P.IV

příklad 9d. Vývojový diagram části programu P.IV



podprogram VYPXY





32

výpočet Z souřadnice vyhrubované
plochy vnější pro K(l) nalezeného
bodu na ostří

PRIZN=0

Z < K(3)

PRIZN=-1.0E3

14

X = X+PRIZN

Z=Z+PRIZN

13

11

výpočet Z souřadnice vyhrubované
plochy vnitřní pro K(l) naleze-
ného bodu na ostří

PRIZN=-1.0E3

Z < K(3)

PRIZN=0

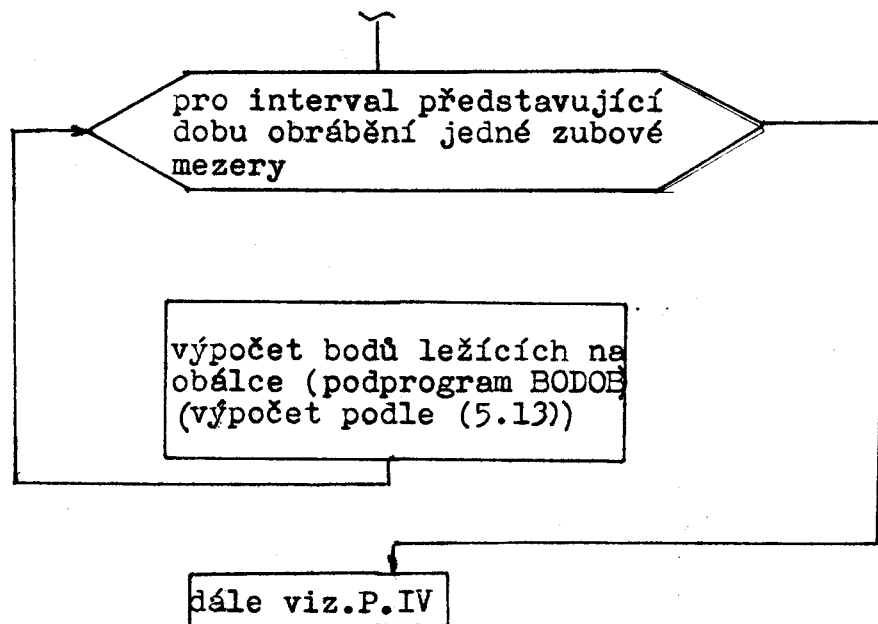
14

příklad 9e. Vývojový diagram části programu P.V

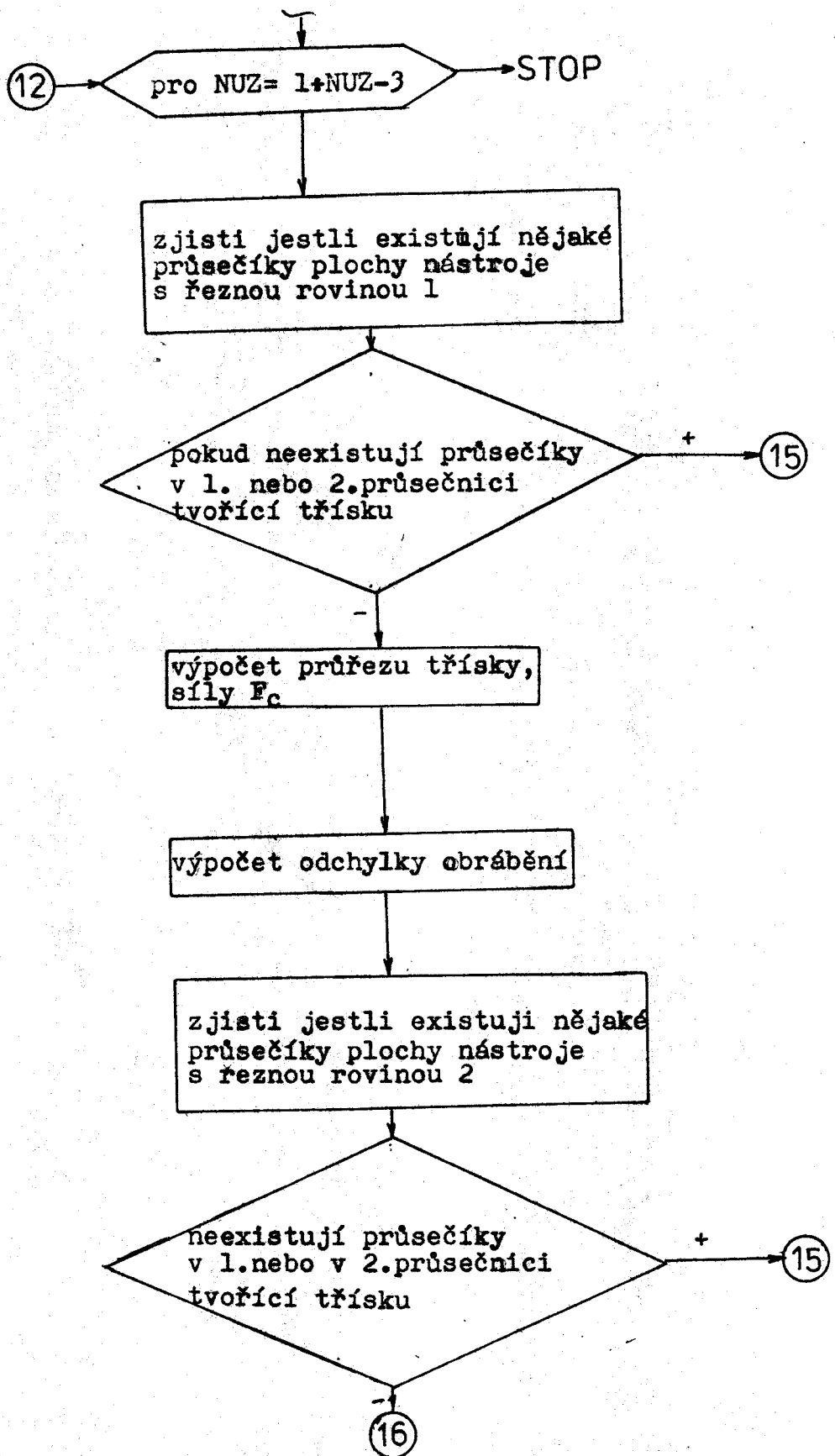
Při výpočtu je použit vektor $\tilde{\eta} = (-r_n \cdot \cot \varphi_{\text{zub}},$

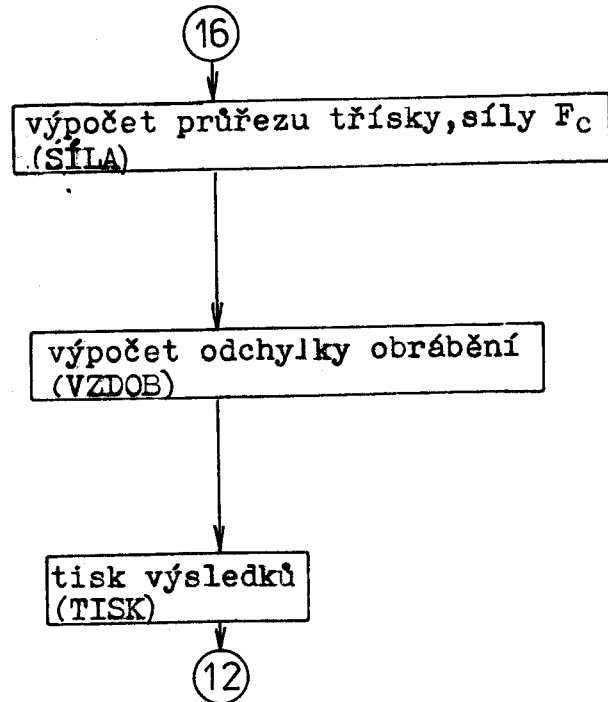
$$A_0 = \sqrt{(A - r_n \cdot \sin \psi)^2 + r_n^2 \cdot \cos^2 \psi} \cdot \cos \tilde{\psi}, -\sqrt{(A - r_n \cdot \sin \psi)^2 + r_n^2 \cdot \cos^2 \psi} \cdot \sin \tilde{\psi})$$

/13/

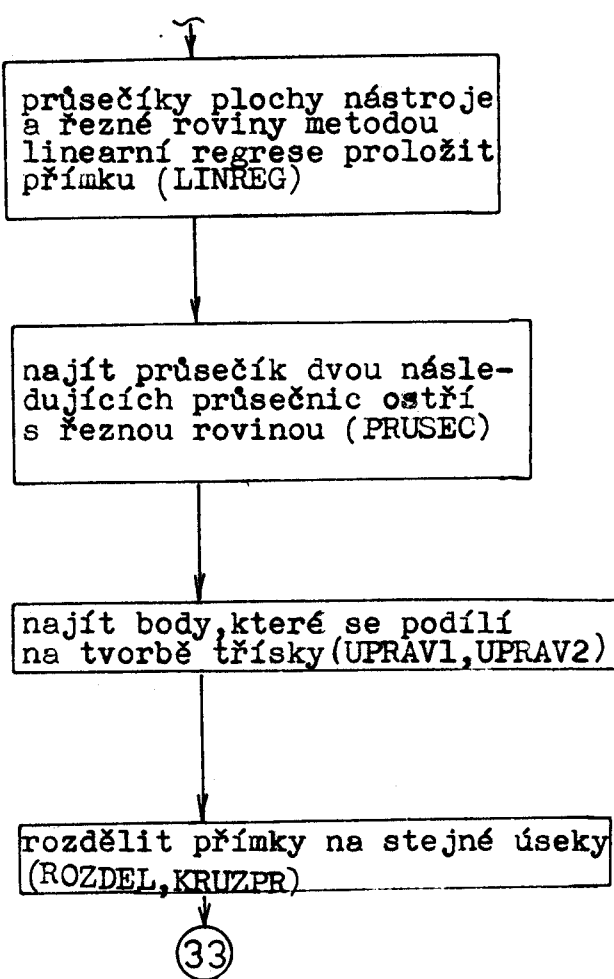


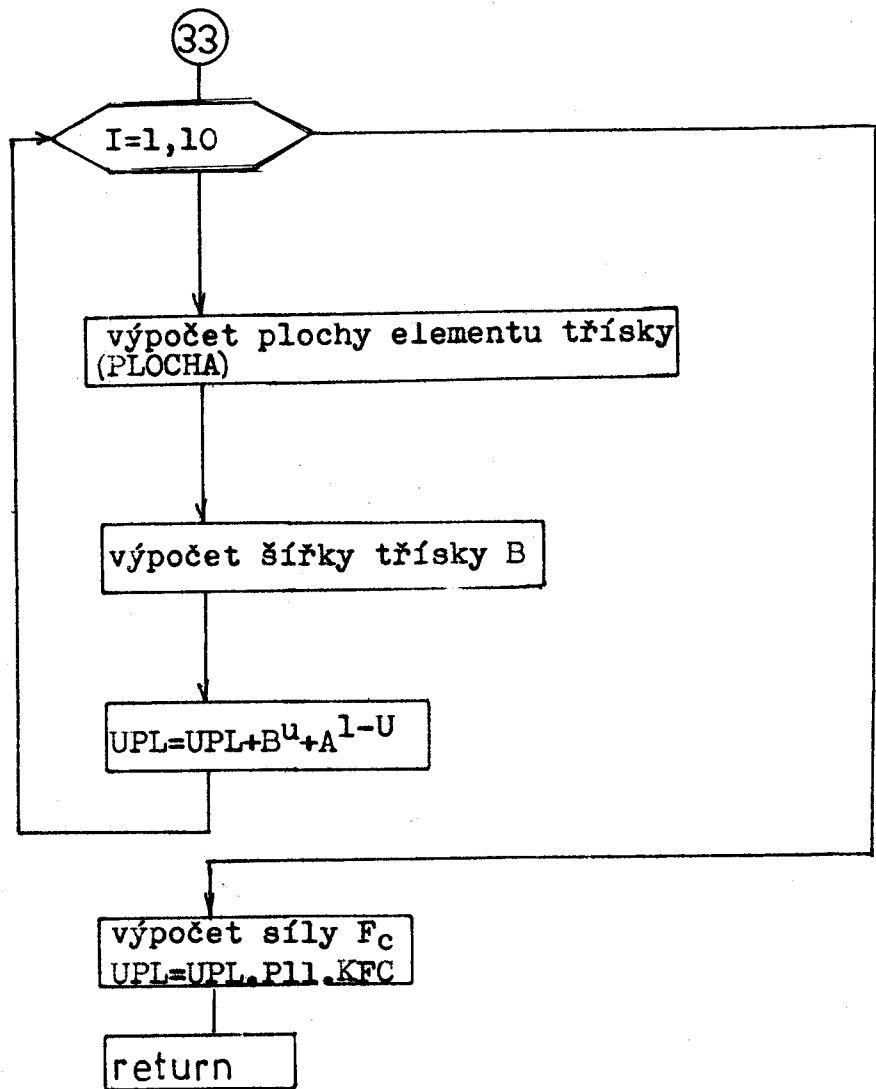
příl. 9f. Vývojový diagram části programu P.VI



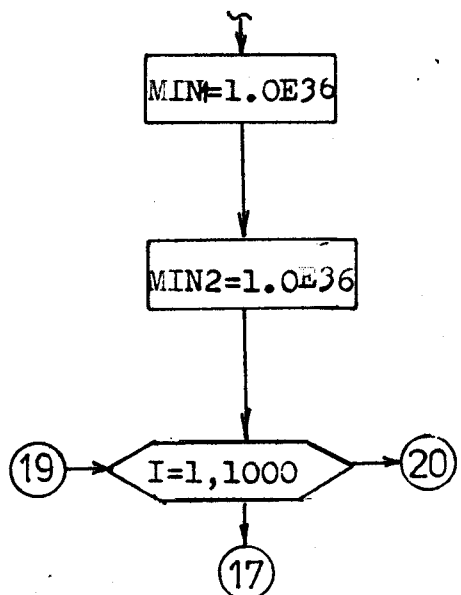


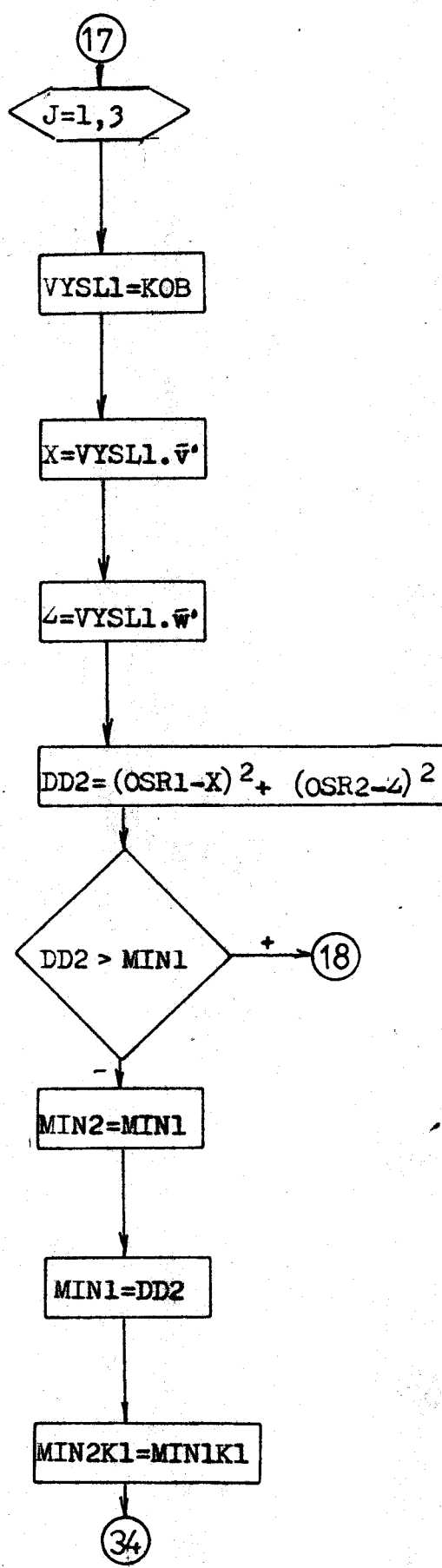
podprogram SILA

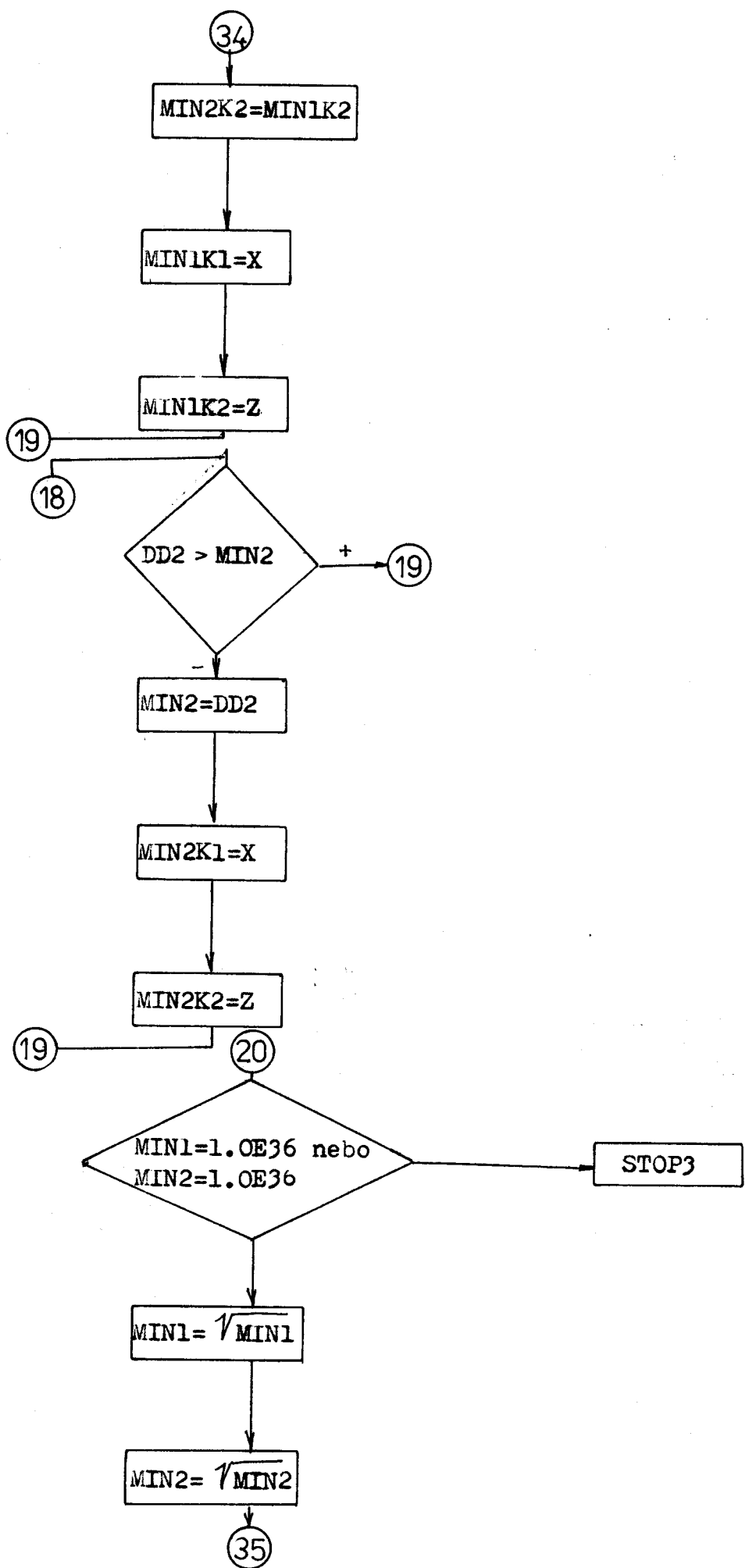




podprogram_VZDOB







(35)

$$\text{MIN3} = \sqrt{(\text{MIN1K1}-\text{MIN2K1})^2 + (\text{MIN1K2}-\text{MIN2K2})^2}$$

$$S = \text{MIN1} + \text{MIN2} + \text{MIN3}/2$$

$$P = \sqrt{S \cdot (S-\text{MIN1}) \cdot (S-\text{MIN2}) \cdot (S-\text{MIN3})}$$

$$VZD = 2 \cdot P / \text{MIN3}$$

return

C PROGRAM PRO DOKONCOVANI KUZELOVYCH KOL GLEASON
C*****
C
C REALISUJE ALGORITMUS NAVRZENY V DIPLOMOVE PRACI
C
C AUTOR : ALENA HAASOVA
C
C DATUM VYTVORENI : 5/1989
C
C
C JAZYK FORTRAN 77 RSX-11M
(NAVIC PROTI NORME FORTRAN 4 VYUZIT POUZE PRIKAZ VIRTUAL)
C
C NEVYZADUJE ZADNE DALSI PROGRAMOVE MODULY
C
C-----
C DEKLARACE
0001 INTEGER NUZ,I,J,II,IE,POCU1,SIGNUM,MAXNUZ,IX
0002 LOGICAL INTER,TECRO1,TECRO2,TEST,PLNA
0003 REAL U1,PI,PREVSR,RN,ALFAIN,A,A0,TAUPOC,TAU,GAMAP,GAMA0,WZ,WK
+ ,WF,TC1,TC2,U11,U12,DELTAT,KFC,P11,VZD1,VZD2,OSR1,OSR2,
+ VZ,VF,DELVTC,DELMTC,POCMTC,TC,POMOC,PSI,ASKAL,VTC,
+ MAXTC,DELU1,RE2,RI2,YI,VYI,YE,VYE,UPL1,UPL2,EXPON,POMOC2
0004 REAL TG,VZDAL
0005 REAL OAI(3,2),OBIE(3,2),N10(3),U1N10(3),OF(3),OK(3),
+ OZ(3),VYSL1(3),VYSL2(3),VYSL3(3),POM1(3,3),POM2(3,3),
+ TOFWF(3,3),V1(3),V2(3),
+ TOZWZM(3,3),TOKWK(3,3),WOZ(3,3),WOK(3,3),ST(3),ATC(3,3),
+ BTC(3,3),CTC(3,3),AT(3,3),BT(3,3),CT(3,3),X,
+ Y,KOB1,KOB2
0006 REAL N1TCUI(3),N1TCUE(3),N1TAUI(3),N1TAUE(3),STI(3),STE(3),
+ MALEVI(3),MALEVE(3),MALEWI(3),MALEWE(3),
+ VP1X(11),VP1Y(11),VP2X(11),VP2Y(11)
0007 VIRTUAL X(2,1300,11),Y(2,1300,11),KOB1(3,1000),KOB2(3,1000)
0008 EQUIVALENCE (TOZWZM,AT),(TOKWK,BT),(TOFWF,CT)

C
C POCATECNI NASTAVENI PROMENNYCH
C 1...INTER
C 2...EXTER
0009 OPEN(UNIT=6,NAME='SY:LP.ZUB',STATUS='NEW')
0010 WRITE(5,5)
0011 5 FORMAT(' VLOZ HODNOTY OMEGAF [RAD/MIN],KFC,P11 [MPA],U ',
0012 ' (ODDEL CARKAMI, UKONCI <CR>)')
0013 6 READ(5,6)WF,KFC,P11,EXPON
0014 FORMAT(4F15.0)
0015 PI=3.14159
0016 PREVSR=PI/180
0017 RN=152.4
0018 RI2=153.8**2
0019 RE2=188.9**2
0020 ALFAIN=15.75*PREVSR
0021 A=182.96
0022 A0=206.46
0023 TAUPOC=46.35
0024 PSI=28.5*PREVSR
0025 GAMAP=70.05*PREVSR
0026 GAMA0=74.75*PREVSR
WZ=57.81/60.

0027 WK=55.5/60.
0028 WF=WF/60.
0029 OAI_E(1,1)=48
0030 OAI_E(2,1)=144.8
0031 OAI_E(3,1)=0
0032 OBIE(1,1)=68
0033 OBIE(2,1)=144.8
0034 OBIE(3,1)=-0.27
0035 OAI_E(1,2)=68
0036 OAI_E(2,2)=109.46
0037 OAI_E(3,2)=-7.89
0038 OBIE(1,2)=47.78
0039 OBIE(2,2)=109.46
0040 OBIE(3,2)=-13.59
0041 OZ(1)=SIN(GAMAP)
0042 OZ(2)=COS(GAMAP)
0043 OZ(3)=0
0044 DO 30 I=1,3
0045 OF(I)=0
0046 30 OK(I)=0
0047 OF(1)=1
0048 OK(1)=1
0049 VZ=23/60.
0050 VF=43/60.
0051 MAXTC=56.
0052 DELVTC=(0.81+1.92)*PREVSR
C 24*0.08=1.92 ==>
0053 DELMTC=0.08*PREVSR
0054 POCMTC=25
0055 POCU1=11
0056 DELU1=0.1
0057 DO 20 I=1,2
0058 DO 20 NUZ=1,1300
0059 DO 20 J=1,POCU1
0060 X(I,NUZ,J)=-1.0E6
0061 20 Y(I,NUZ,J)=-1.0E6
0062 TC=-DELVTC
0063 INTER=.FALSE.
0064 TECR01=.FALSE.
0065 TECR02=.FALSE.
C C NALEZENI SOURADNIC X,Y NA PRUSECNICICH PRO JEDNOTLIVE NOZE
0066 DO 100 NUZ=1,1300
0067 TC=TC+DELVTC
0068 IF(TC.GE.MAXTC)GOTO 101
0069 P.I. INTER=.NOT. INTER
0070 II=2
0071 IF(INTER)II=1
0072 IE=1
0073 IF(INTER)IE=2
0074 SIGNUM=-1
0075 IF(INTER)SIGNUM=1
0076 CALL VYPV(PREVSR,TAUPOC,TC,RN,ALFAIN,A,PSI,II,V1)
0077 CALL VYPV(PREVSR,TAUPOC,TC,RN,ALFAIN,A,PSI,IE,V2)
0078 IF(TECR01.AND.TECR02)GOTO 150
C P.II ZACATEK HLEDANI TECNYCH ROVIN 1,2
0079 VTC=TC
0080 DO 70 I=1,POCU1-1
0081 U1=DELU1*I

```

0082
0083
0084
0085
0086
0087
0088
0089
0090
0091
0092
0093
0094
0095
0096
0097
0098
0099
0100
0101
0102
0103
0104
0105
106
107
108
109
110
111
112
113
114
115
116
117
118
119
120
121
122
123
124
125
126
127
128
129
      DO 70 J=0,POCMTC-1
      TC=VTC+J*DELMTC
      CALL T (OZ,-WZ*TC,TOZWZM)
      CALL T (OK,WK*TC,TOKWK)
      CALL T (OF,WF*TC,TOFWF)
      IF(TECR01)GOTO 35
      CALL VYPN1(TC,U1,N1TAUI,OAIE(1,II),OBIE(1,II),N10,U1N10,VYSL1,
      + VYSL2,
      + V1,TOFWF,TOKWK,TOZWZM,OZ,VZ)
      PODMINKY
      CALL SKALAR(N1TAUI,OZ,ASKAL)
      CALL NASC(OZ,VYSL1,3,1,ASKAL)
      ASKAL=(VYSL1(1)-N1TAUI(1))**2+(VYSL1(3)-N1TAUI(3))**2
      IF(ASKAL .GE. RI2)GOTO 70
      YI=(TG((-14.5*SIGNUM+TC/0.1*0.095)*PREVSR)*(N1TAUI(1)-
      + (12.18*SIGNUM)))*SIGNUM
      VYI=N1TAUI(3)*SIGNUM
      IF(YI.GE.VYI)GOTO 35
      TECR01=.TRUE.
      TC1=TC
      U11=U1
      IF(TECR02)GOTO 36
      CALL VYPN1(TC+2.71*PREVSR,U1,N1TAUE,OAIE(1,IE),OBIE(1,IE),N10,U1N10,
      + VYSL1,
      + VYSL2,V2,TOFWF,TOKWK,TOZWZM,OZ,VZ)
      CALL SKALAR(N1TAUE,OZ,ASKAL)
      CALL NASC(OZ,VYSL1,3,1,ASKAL)
      ASKAL=(VYSL1(1)-N1TAUE(1))**2+(VYSL1(3)-N1TAUE(3))**2
      IF(ASKAL .GE. RE2)GOTO 70
      YE=(TG(((14.5+12.8)*SIGNUM+TC/0.1*0.095)*PREVSR)*(N1TAUE(1)+
      + (21.06*SIGNUM)))*SIGNUM
      VYE=N1TAUE(3)*SIGNUM
      IF(YE.LE.VYE)GOTO 70
      TECR02=.TRUE.
      TC2=TC
      U12=U1
      IF(.NOT.TECR01 .OR. .NOT.TECR02)GOTO 70
      GOTO 120
      CONTINUE
      TC=VTC
      GOTO 100
      120  CALL W(OZ,W0Z)
      CALL W(OK,W0K)
      CALL W(OF,W0F)
      CALL VYPV(PREVSR,TAUPOC,TC1,RN,ALFAIN,A,PSI,II,V1)
      CALL T (OZ,-WZ*TC1*PREVSR,TOZWZM)
      CALL T (OK,WK*TC1*PREVSR,TOKWK)
      CALL T (OF,WF*TC1*PREVSR,TOFWF)
      CARKOVANE
      CALL MPRDB(W0Z,AT,POM1,3,3,3)
      CALL NASC(POM1,ATC,3,3,-WZ)
      CALL MPRDB(W0K,BT,POM1,3,3,3)
      CALL NASC(POM1,BTC,3,3,WK)
      CALL MPRDB(W0F,CT,POM1,3,3,3)
      CALL NASC(POM1,CTC,3,3,WF)
      P.III
      CALL VYPST(OZ,OK,OF,W0Z,W0K,W0F,AT,ATC,BT,BTC,CT,CTC,VYSL1,
      + VYSL2,VYSL3,
      + POM1,POM2,V1,U11,WF,WZ,WK,VZ,MALEVI,MALEWI,OAIE(1,II),
      + OBIE(1,II),STI)

```

```

0130
0131      CALL VYPV(PREVSR,TAUPOC,TC2,RN,ALFAIN,A,PSI,IE,V2)
0132      CALL T(OZ,-WZ*TC2*PREVSR,TOZWZM)
0133      CALL T(OK,WK*TC2*PREVSR,TOKWK)
0134      CALL T(OF,WF*TC2*PREVSR,TOFWF)
0135      CARKOVANE
0136      CALL MPRDB(WOZ,AT,POM1,3,3,3)
0137      CALL NASC(POM1,ATC,3,3,-WZ)
0138      CALL MPRDB(WOK,BT,POM1,3,3,3)
0139      CALL NASC(POM1,BTC,3,3,WK)
0140      CALL MPRDB(WOF,CT,POM1,3,3,3)
0141      CALL NASC(POM1,CTC,3,3,WF)
0142      CALL VYPST(OZ,OK,OF,WOZ,WOK,WOF,AT,ATC,BT,BTC,CT,CTC,VYSL1,
+ VYSL2,VYSL3,
+ POM1,POM2,V2,U12,WF,WZ,WK,VZ,MALEVE,MALEWE,DAIE(1,IE),
+ OBIE(1,IE),STE)
141      TC=TC1
142      DELTAT=TC1-TC2
C      KONEC HLEDANI TECNYCH ROVIN
C
C      VLASTNI HLEDANI SOURADNIC X,Y NA PRUSECNICI PRO DANY NUZ
143
150      CALL VYPXY(II,TC,N1TCUI,N1TAUI,STI,MALEVI,MALEWI,DAIE(1,II),
+ OBIE(1,II),N10,U1N10,VYSL1,VYSL2,V1,TOFWF,TOKWK,TOZWZM,OZ,X,Y,
144      + VZ,WZ,WK,WF,
+ DELU1,POCU1,U1,DELMTC,NUZ,PREVSR,0.0,TAUPOC,RN,ALFAIN,A,PSI)
P.IV      CALL VYPXY(IE,TC+2.71*PREVSR-DELTAT,N1TCUE,N1TAUE,STE,MALEVE,MALEWE,
+ OBIE(1,IE),
+ OBIE(1,IE),N10,U1N10,VYSL1,VYSL2,V2,TOFWF,TOKWK,TOZWZM,OZ,X,Y,
+ VZ,WZ,WK,WF,
+ DELU1,POCU1,U1,DELMTC,NUZ,PREVSR,12.8,TAUPOC,RN,ALFAIN,A,PSI)
145      100  CONTINUE
146      101  CONTINUE
C
C      VYPOCET OBALKY ZUBU
47      DO 180 I=1,1000
48      TC=TC1+(MAXTC-TC1)*(I-1)/1000
49      CALL BDOB(OZ,OF,OK,WZ,WF,WK,TC,PREVSR,TAUPOC,RN,ALFAIN,
+ A,A0,PSI,VYSL1,VYSL2,VYSL3,POM1,POM2,POM3,WOF,WOK,WOZ,
50      + 1,V1,KOB1,I)
P.V      TC=TC2+(MAXTC-TC2)*(I-1)/1000
51      CALL BDOB(OZ,OF,OK,WZ,WF,WK,TC,PREVSR,TAUPOC,RN,ALFAIN,
+ A,A0,PSI,VYSL1,VYSL2,VYSL3,POM1,POM2,POM3,WOF,WOK,WOZ,
52      + 2,V2,KOB2,I)
180      CONTINUE
C
C      VYPOCET SILY ZE ZNAMYCH PRUSECNIC
3      MAXNUZ=NUZ-1
4      DO 300 NUZ=1,(MAXNUZ-2)
5      UPL1=0
6      UPL2=0
7
8      P.VI     CALL VMOVE2(X,Y,1,NUZ,POCU1,VP1X,VP1Y)
9      CALL VMOVE2(X,Y,1,NUZ+2,POCU1,VP2X,VP2Y)
+      IF(.NOT.PLNA(VP1X,VP1Y,POCU1).OR..NOT.PLNA(VP2X,VP2Y,POCU1))
+      GOTO 300
+      CALL SILA(KFC,P11,POCU1,VP1X,VP1Y,VP2X,VP2Y,UPL1,EXPON,
+      OSR1,USR2)
+      CALL VZDOB(KOB1,OSR1,OSR2,VYSL1,MALEVI,MALEWI,VZD1)
+      CALL VMOVE2(X,Y,2,NUZ,POCU1,VP1X,VP1Y)

```

```
0163      CALL VMOVE2(X,Y,2,NUZ+2,POCU1,VP2X,VP2Y)
0164      IF(.NUT. PLNA(VP1X,VP1Y,POCU1).OR. .NOT.PLNA(VP2X,VP2Y,POCU1)
0165      + GOTO 300
0166      + CALL SILA(KFC,P11,POCU1,VP1X,VP1Y,VP2X,VP2Y,UPL2,EXPON,
0167      + OSR1,USR2)
0168      300   CALL VZDOB(KOB2,OSR1,OSR2,VYSL1,MALEVE,MALEWE,VZD2)
0169      + CALL TISK(NUZ,UPL1,UPL2,VZD1,VZD2)
0170      + CONTINUE
0169      + STOP
0170      + END
```